

ΠΡΑΚΤΙΚΑ ΤΗΣ ΑΚΑΔΗΜΙΑΣ ΑΘΗΝΩΝ

ΣΥΝΕΔΡΙΑ ΤΗΣ 26^{ΗΣ} ΦΕΒΡΟΥΑΡΙΟΥ 1981

ΠΡΟΕΔΡΙΑ ΙΩΑΝΝΟΥ Ν. ΚΑΡΜΙΡΗ

ΓΕΩΔΑΙΣΙΑ.—Γεωδαιτική διάθλασις καὶ κατακόρυφος θερμοβαθμίς εἰς τὴν περιοχὴν τῆς Θεσσαλονίκης, ὑπὸ **A. I. Γουναρη - Λ. N. Μαυρίδου - Α. Λ. Παπαδημητρίου***. Ἀνεκοινώθη ὑπὸ τοῦ Ἀκαδημαϊκοῦ κ. Ἰωάννου Ξανθάκη.

1. ΕΙΣΑΓΩΓΗ

Ἡ γεωδαιτικὴ διάθλασις ἐνδιαφέρει ἀπὸ πολλῶν ἀπόψεων τὰς γεωδαιτικὰς ἐπιστήμας. Οὕτως :

1) Ἐπηρεάζει τὰς μετρήσεις τῶν κατακορύφων, ἐνίοτε δὲ καὶ τῶν ὁρίζοντίων γωνιῶν εἰς τὴν Γεωδαισίαν.

2) Ἐπηρεάζει τὴν μορφὴν τῆς τροχιᾶς τῶν ἡλεκτρομαγνητικῶν ἀκτινοβολιῶν (ὅπτικῶν ἀκτινοβολιῶν, μικροκυμάτων, οαδιοκυμάτων κλπ.) διὰ μέσου τῆς γήνης ἀτμοσφαιρίας, γεγονὸς τὸ δόποῖον ἔχει ἴδιαιτέραν σημασίαν τόσον διὰ τὴν ἡλεκτρομαγνητικὴν μέτρησιν τῶν ἀποστάσεων εἰς τὴν Ἐπίγειον Γεωδαισίαν, ὅσον καὶ διὰ τὴν Διορφορικὴν Γεωδαισίαν.

Διὰ τοὺς λόγους αὐτοὺς ἡ συστηματικὴ μελέτη τῆς γεωδαιτικῆς διαθλάσεως εἰς τὰς διαφόρους περιοχὰς τῆς Γῆς εἶναι θεμελιώδους σημασίας διὰ τὰς γεωδαιτικὰς ἐπιστήμας.

Τόσον ὅμως ἡ γεωδαιτικὴ διάθλασις, ὅσον καὶ πλεῖστα ἄλλα φαινόμενα τῆς Ἀτμοσφαιρικῆς Φυσικῆς καὶ τῆς Μετεωρολογίας σχετίζονται στενώτατα πρὸς

* A. I. GOUNARIS - L. N. MAVRIDIS - A. L. PAPADIMITRIOU, **Terrestrial Refraction and Vertical Temperature Gradient in the Area of Thessaloniki.**

τὴν μεταβολὴν τῆς θερμοκρασίας τοῦ ἀέρος μετὰ τοῦ ὑψους, δηλαδὴ πρὸς τὴν κατακόρυφον θερμοβαθμίδα.

Μέχρι σήμερον ἐλάχισται ἔρευναι σχετικὰ πρὸς τὴν γεωδαιτικὴν διάθλασιν καὶ τὴν κατακόρυφον θερμοβαθμίδα ἔχουν γίνει εἰς τὸν ἐλλαδικὸν χῶρον. Οὗτως, ὁ Παπαδημητρίου (1970) καὶ οἱ Mavridis and Papadimitriou (1971, 1973) ἐμελέτησαν τὴν γεωδαιτικὴν διάθλασιν εἰς τὴν περιοχὴν τῆς Θεσσαλονίκης, ἐνῷ οἱ Badellas et al. (1980) ἐμελέτησαν τὴν μεταβολὴν μετὰ τοῦ ὑψους τοῦ δείκτου διαθλάσεως τοῦ ἀτμοσφαιρικοῦ ἀέρος διὰ τὰ μικροκύματα εἰς τὴν αὐτὴν περιοχήν.

Εἰς τὸ πρῶτον μέρος τῆς παρούσης ἐργασίας (2 - 4) μελετᾶται ἡ γεωδαιτικὴ διάθλασις εἰς τὴν περιοχὴν τῆς Θεσσαλονίκης.

Πρὸς τὸν σκοπὸν αὐτὸν χρησιμοποιοῦνται τὰ ἔξαγόμενα 1924 προσδιορισμῶν τοῦ συντελεστοῦ γεωδαιτικῆς διαθλάσεως, οἱ δόποι οι καλύπτονταν 128 ἡμέρας τῶν ἑτῶν 1969 ἕως 1974. Τὸ ὑλικὸν τοῦτο χρησιμοποιεῖται διὰ τὴν συστηματικὴν μελέτην τῆς ἡμερησίας πορείας τοῦ συντελεστοῦ γεωδαιτικῆς διαθλάσεως καὶ τῶν μεταβολῶν αὐτῆς κατὰ τὴν διάρκειαν τοῦ ἔτους καὶ ἀπὸ ἔτους εἰς ἔτος.

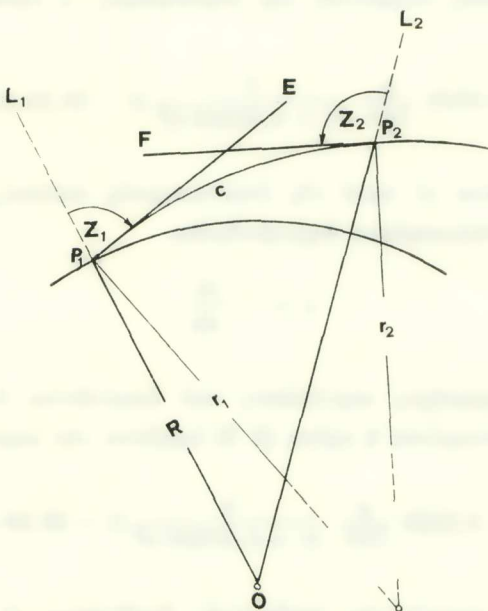
Εἰς τὸ δεύτερον μέρος τῆς ἐργασίας (5 - 7) ἀναπιύσσεται κατ' ἀρχὴν μία μέθοδος προσδιορισμοῦ τῆς κατακορύφου θερμοβαθμίδος ἐκ τοῦ συντελεστοῦ γεωδαιτικῆς διαθλάσεως. Ἐν συνεχείᾳ ἐφαρμόζεται ἡ μέθοδος αὕτη διὰ τὸν προσδιορισμὸν τῆς κατακορύφου θερμοβαθμίδος εἰς τὴν περιοχὴν Θεσσαλονίκης τῇ βοηθείᾳ τῶν τιμῶν τοῦ συντελεστοῦ γεωδαιτικῆς διαθλάσεως ποὺ ὑπελογίσθησαν εἰς τὸ πρῶτον μέρος τῆς ἐργασίας. Τὸ ὑλικὸν τοῦτο χρησιμοποιεῖται ἀκολούθως διὰ τὴν συστηματικὴν μελέτην τῆς ἡμερησίας πορείας τῆς κατακορύφου θερμοβαθμίδος καὶ τῶν μεταβολῶν αὐτῆς κατὰ τὴν διάρκειαν τοῦ ἔτους καὶ ἀπὸ ἔτους εἰς ἔτος. Τέλος, τῇ βοηθείᾳ τῆς μέσης ἡμερησίας πορείας τῆς κατακορύφου θερμοβαθμίδος ποὺ εὑρέθη κατὰ τὸν τρόπον αὐτόν, ὑπολογίζονται «θεωρητικαὶ τιμαὶ» τοῦ συντελεστοῦ γεωδαιτικῆς διαθλάσεως καὶ συγκρίνονται πρὸς τὰς παρατηρηθείσας τιμάς.

2. ΘΕΜΕΛΙΩΔΕΙΣ ΣΧΕΣΕΙΣ ΣΧΕΤΙΚΑΙ ΜΕ ΤΗΝ ΓΕΩΔΑΙΤΙΚΗΝ ΔΙΑΘΛΑΣΙΝ

‘Ος γνωστόν, ὅταν σκοπεύωμεν δι’ ἐνὸς θεοδολίχου τὸ σημεῖον P_2 ἐξ ἐνὸς σημείου P_1 ἐπὶ τῆς ἐπιφανείας τῆς Γῆς, τότε αἱ φωτειναὶ ἀκτῖνες διαδίδονται κατὰ μῆκος τῆς καμπύλης τροχιᾶς C. Ἐάν, συνεπῶς, παραστήσωμεν διὰ Z_1 , Z_2 τὰς φαινομένας ζενιθίας ἀποστάσεις τῶν σημείων P_2 καὶ P_1 ὡς πρὸς τὰ σημεῖα P_1 καὶ P_2 ἀντιστοίχως, θὰ ἔχωμεν (σχ. 1):

$$Z_1 = \widehat{L_1 P_1 E}, \quad Z_2 = \widehat{L_2 P_2 F},$$

ενθα P_1L_1 καὶ P_2L_2 είναι αἱ κατακόρυφοι τῶν σημείων P_1 , P_2 , αἱ δέ ποιαι κατὰ πρώτην προσέγγισιν δύνανται νὰ θεωρηθοῦν ὡς συμπίπτουσαι πρὸς τὰς γεωκεντρικὰς ἀκτῖνας OP_1L_1 καὶ OP_2L_2 , καὶ P_1E , P_2F είναι αἱ ἐφαπτόμεναι τῆς καμπύλης C εἰς τὰ σημεῖα P_1 καὶ P_2 ἀντιστούχως. Ἐὰν παραστήσωμεν διὰ r_1



Σχ. 1. Ὁρισμὸς τοῦ συντελεστοῦ γεωδαιτικῆς διαθλάσεως.

καὶ r_2 τὰς ἀκτῖνας καμπυλότητος τῆς καμπύλης C εἰς τὰ σημεῖα P_1 καὶ P_2 καὶ διὰ R τὴν ἀκτῖνα τῆς Γῆς, ὑποτιθεμένης σφαιρικῆς, τότε αἱ ποσότητες

$$K_1 = \frac{R}{r_1}, \quad K_2 = \frac{R}{r_2} \quad (2.1)$$

παρέχουν ἐξ ὁρισμοῦ τὴν τιμὴν τοῦ τοπικοῦ συντελεστοῦ γεωδαιτικῆς διαθλάσεως εἰς τὰ σημεῖα P_1 καὶ P_2 . Ἀποδεικνύεται ὅτι

$$K = \frac{R}{n} \cdot \frac{dn}{dh} \eta \mu Z, \quad (2.2)$$

ὅπου K δοτοπικός συντελεστής γεωδαιτικῆς διαθλάσεως εἰς τὸ σημεῖον P διὰ σκοπεύσεις ὑπὸ ζενιθίαν ἀπόστασιν Z , n δοτόλυτος δείκτης διαθλάσεως τοῦ ἀτμοσφαιρικοῦ ἀέρος διὰ τὰς θεωρουμένας ὀπτικὰς ἀκτινοβολίας καὶ $dt : dh$ ἡ κατακόρυφος βαθμίς τοῦ n .

Τῇ βοηθείᾳ τῶν νόμων τοῦ Gladstone καὶ τῶν τελείων ἀερίων καὶ τῆς συνθήκης ὑδροστατικῆς ισορροπίας τῆς ἀτμοσφαίρας ἢ σχέσις (2. 2) λαμβάνει τὴν μορφὴν

$$K = 0.2325 \frac{p}{760} \frac{1}{(1 + 0.00366 t)^2} (1 - 29.39 \tau) \eta \mu Z, \quad (2. 3)$$

ὅπου p , t καὶ τ εἶναι αἱ τιμαὶ τῆς ἀτμοσφαιρικῆς πιέσεως, τῆς θερμοκρασίας τοῦ ἀέρος καὶ τῆς κατακορύφου θερμοβαθμίδος

$$\tau = - \frac{dt}{dh}$$

εἰς τὸ σημεῖον P .

Εἰς τὰς περισσοτέρας περιπτώσεις ποὺ ἀπαντῶνται εἰς τὴν Γεωδαισίαν εἶναι $\eta \mu Z \approx 1$, καὶ ἐπομένως ἢ σχέσις (2. 3) λαμβάνει τὴν μορφὴν

$$K = 0.2325 \frac{p}{760} \frac{1}{(1 + 0.00366 t)^2} (1 - 29.39 \tau), \quad (2. 4)$$

ἔνθα K δοτοπικός συντελεστής γεωδαιτικῆς διαθλάσεως εἰς τὸ σημεῖον P διὸ δορζοντίας σκοπεύσεις. Εἰς τὰ ἔπομενα, δοσάκις θὰ διμιλῶμεν περὶ τοπικοῦ συντελεστοῦ γεωδαιτικῆς διαθλάσεως, θὰ ἐννοοῦμεν τὸν συντελεστὴν τοῦτον.

Ἐκ τῆς σχέσεως (2. 4) διαπιστοῦται ὅτι ἡ τιμὴ τοῦ τοπικοῦ συντελεστοῦ γεωδαιτικῆς διαθλάσεως ἔξαρταται ἐκ τῶν τιμῶν τῶν μετεωρολογικῶν στοιχείων p , t καὶ τ . Καὶ αἱ μὲν τιμαὶ τῶν p καὶ t δύνανται νὰ μετρηθοῦν ἀπ' εὐθείας, δὲν ισχύει δμως τὸ αὐτὸ διὰ τὸ τ .

Ἡ τιμὴ τοῦ τοπικοῦ συντελεστοῦ γεωδαιτικῆς διαθλάσεως μεταβάλλεται ἀπὸ σημείου εἰς σημεῖον τῆς καμπύλης C . Χάριν ἀπλότητος ὅμως δεχόμεθα, συνήθως, κατὰ πρώτην προσέγγισιν ὅτι διὰ μίαν δεδομένην στιγμὴν τὸ K διατηρεῖ σταθερὰν τιμὴν κατὰ μῆκος τῆς τροχιᾶς C , δηλαδή, ὅτι ἡ καμπύλη C εἶναι τόξον περιφερείας κύκλου μὲ ἀκτῖνα

$$r = \frac{R}{K}. \quad (2. 5)$$

Μὲ βάσιν τὴν ὑπόθεσιν ταύτην ἔχουν ἀναπτυχθῆ αἱ ἀκόλουθοι δύο μέθοδοι προσδιορισμοῦ τῆς τιμῆς τοῦ συντελεστοῦ γεωδαιτικῆς διαθλάσεως:

1) Ἡ μέθοδος τῶν ἀπλῶν σκοπεύσεων εἰς τὴν ὅποιαν προσδιορίζεται ἡ τιμὴ K_1 τοῦ τοπικοῦ συντελεστοῦ γεωδαιτικῆς διαθλάσεως εἰς τὸ σημεῖον P_1 τῇ βοηθείᾳ τῆς σχέσεως

$$K_1 = 1 - \frac{2R}{S_{12}^2} (\Delta h_{12} - S_{12} \sigma \varphi Z_1). \quad (2.6)$$

2) Ἡ μέθοδος τῶν ἀμοιβαίων σκοπεύσεων εἰς τὴν ὅποιαν προσδιορίζεται ὁ μέσος συντελεστὴς γεωδαιτικῆς διαθλάσεως K κατὰ μῆκος τοῦ τόξου $P_1 P_2$ τῇ βοηθείᾳ τῆς σχέσεως

$$K = 1 - (Z_1 + Z_2 - 200^g) \frac{R}{S_{12}}. \quad (2.7)$$

Εἰς τὰς σχέσεις (2.6) καὶ (2.7) τὰ S_{12} καὶ Δh_{12} εἶναι ἀντιστοίχως ἡ ὁρίζοντία ἀπόστασις καὶ ἡ ὑψομετρικὴ διαφορὰ τῶν σημείων P_1 , P_2 .

Εἰς τὴν μέθοδον τῶν ἀπλῶν σκοπεύσεων ἐκτελοῦμεν σκοπεύσεις μόνον ἀπὸ τὸ σημεῖον P_1 πρὸς τὸ σημεῖον P_2 , πρέπει ὅμως νὰ γνωρίζωμεν ἐκ τῶν προτέρων τὴν ὑψομετρικὴν διαφορὰν τῶν δύο σημείων.

Ἄντιθέτως, εἰς τὴν μέθοδον τῶν ἀμοιβαίων σκοπεύσεων δὲν ἀπαιτεῖται μὲν νὰ γνωρίζωμεν τὴν τιμὴν τῆς ὑψομετρικῆς διαφορᾶς Δh_{12} μεταξὺ τῶν σημείων P_1 καὶ P_2 , πρέπει ὅμως νὰ ἐκτελέσωμεν ταυτοχρόνους σκοπεύσεις ἐκ τοῦ P_1 πρὸς τὸ P_2 καὶ ἐκ τοῦ P_2 πρὸς τὸ P_1 .

“Οπως ἐλέχθη καὶ ἀνωτέρῳ, ἀμφότεραι αἱ μέθοδοι στηρίζονται εἰς τὴν ὑπόθεσιν ὅτι ἡ τροχιὰ τῶν φωτεινῶν ἀκτίνων μεταξὺ τῶν σημείων P_1 , P_2 εἶναι τόξον περιφερείας κύκλου, καὶ ἐπομένως εἶναι

$$K_1 = K_2 = K = \frac{1}{2} (K_1 + K_2). \quad (2.8)$$

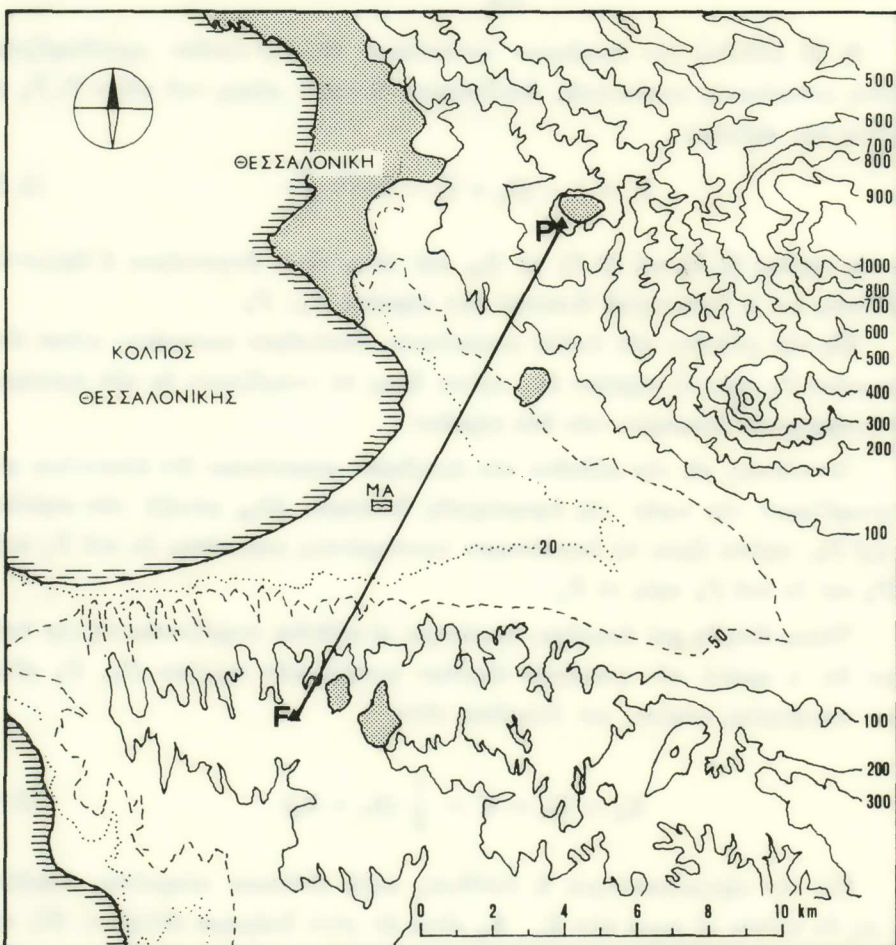
Εἰς τὴν πραγματικότητα ἡ ὑπόθεσις αὐτὴ οὐδέποτε πληροῦται ἀκριβῶς, καὶ ὡς ἐκ τούτου αἱ τιμαὶ τῶν K_1 , K_2 εἶναι ἐν γένει διάφοροι ἀλλήλων. Εἰς τὴν περίπτωσιν ταύτην ὁρίζομεν, συνήθως, καὶ πάλιν τὸν μέσον συντελεστὴν γεωδαιτικῆς διαθλάσεως K τῇ βοηθείᾳ τῆς σχέσεως

$$K = \frac{1}{2} (K_1 + K_2). \quad (2.9)$$

3. ΥΛΙΚΟΝ ΠΑΡΑΤΗΡΗΣΕΩΝ

Αἱ μετρήσεις εἰς τὰς ὁποίας στηρίζεται ἡ παροῦσα ἐργασία ἐγένοντο εἰς τὴν εὐρυτέραν περιοχὴν τῆς Θεσσαλονίκης (σχ. 2) μεταξὺ τῶν σταθμῶν Φανέρ Τούμπα (F) καὶ Πανόραμα (P).

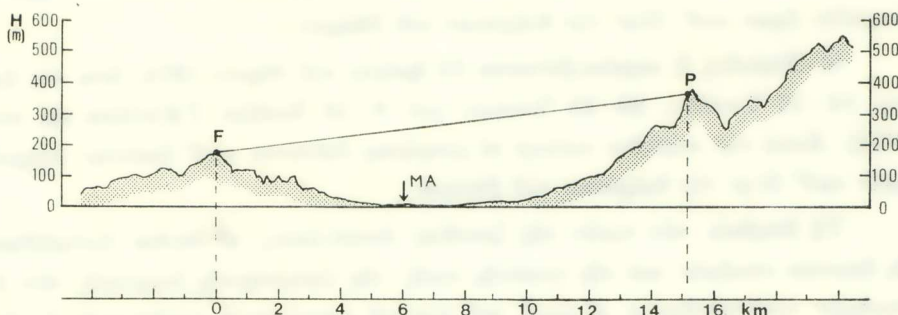
Εἰς τὸ μέσον τῆς ἀποστάσεως τῶν δύο σταθμῶν εὑρίσκεται τὸ ἀεροδρόμιον τῆς Θεσσαλονίκης (τὸ ὅποιον σημειοῦται εἰς τὸ σχ. 2 μὲ τὸ σύμβολον MA), ὅπου



Σχ. 2. Ἡ περιοχὴ τῶν μετρήσεων (F = Φανέρ Τούμπα καὶ P = Πανόραμα).

ἐκτελοῦνται καθ' ἐκάστην κατὰ τὴν 14^η ΕΩΕ (Ἐπίσημος "Ωρα Ἑλλάδος") παρατηρήσεις ἀνωτέρας ἀτμοσφαίρας τῇ βοηθείᾳ φαδιοβολήσεων. Ἡ ὀριζοντία ἀπόστασις τῶν δύο σταθμῶν εὑρέθη ἵση πρὸς $S = 15122.55$ m, ἐνῷ τὰ ἀπόλυτα

νύφομετρά των είναι άντιστοίχως 7σα πρὸς 177 m καὶ 361 m περίπου. Ἡ ἀκριβής τιμὴ τῆς ὑψομετρικῆς διαφορᾶς Δh τῶν δύο σταθμῶν εὑρέθη τῇ βοηθείᾳ γεωμετρικῆς χωροσταθμήσεως 7ση πρὸς 183.168 m. Τὸ σχ. 3 δίδει τὴν κατὰ μῆκος τομὴν μεταξὺ τῶν δύο σταθμῶν. Ἐξ ἐκάστου σταθμοῦ ἐγένοντο τῇ βοηθείᾳ θεοδολίζου ἀκριβείας (ἐχοησιμοποιήθησαν θεοδόλοικοι τῶν τύπων KERN DKM3 καὶ WILD T3) μετρήσεις τῆς ζενίθιας ἀποστάσεως τοῦ ἔτερου σταθμοῦ. Ταυτοχρόνως, εἰς ἐκαστον σταθμὸν ἐμετροῦντο αἱ τιμαὶ τῶν μετεωρολογικῶν στοιχείων, ἵτοι τῆς



Σχ. 3. Κατὰ μῆκος τομὴ μεταξὺ τῶν σταθμῶν Φανέρ Τούμπα (F) καὶ Πανόραμα (P).

θερμοκρασίας τοῦ ἀέρος, σχετικῆς ὑγρασίας, ἀτμοσφαιρικῆς πιέσεως, νεφώσεως καὶ ταχύτητος καὶ διευθύνσεως τοῦ ἀνέμου. Ὅλαι αἱ ἀνωτέρῳ μετρήσεις ἐπανελαμβάνοντο κατὰ τὰς διαδοχικὰς ἀκεραίας ὥρας, ἐλήφθη δὲ ἴδιαιτέρα μέριμνα, ὥστε αἱ δύο ζενίθιαι ἀποστάσεις νὰ μετροῦνται ταυτοχρόνως.

Αἱ μετρήσεις αἱ διοῖαι ἐχοησιμοποιήθησαν κατὰ τὴν παροῦσαν ἐργασίαν δύνανται νὰ καταταγοῦν εἰς τὰς ἀκολούθους πέντε χρονικὰς περιόδους:

1) Περίοδος Α περιλαμβάνουσα 28 ἡμέρας τοῦ θέρους 1969, ἵτοι τὰς ἡμέρας 21 Ἰουλίου, 23 Ἰουλίου, 3 Αὐγούστου, 7 - 11 Αὐγούστου, 13 - 17 Αὐγούστου καὶ 15 - 19 Σεπτεμβρίου (Παναγιωτίδης καὶ συν., 1969 καὶ Παπαδημητρίου, 1970). Κατὰ τὴν περίοδον ταύτην αἱ μετρήσεις ἐγένοντο καθ' ἐκάστην ἀκεραίαν ὥραν ἀπὸ τῆς 7^h μέχρι τῆς 18^h ΕΩΕ.

2) Περίοδος Β περιλαμβάνουσα 26 ἡμέρας τῆς ἀνοίξεως 1971, ἵτοι τὰς ἡμέρας 23 Μαρτίου, 28 Μαρτίου, 4 - 8 Απριλίου, 21 Απριλίου - 1 Μαΐου, 4 - 5 Μαΐου, 9 Μαΐου καὶ 11 - 15 Μαΐου (Ἄγιακάτσικας καὶ συν., 1971, Λίναρης καὶ συν., 1971). Κατὰ τὴν περίοδον ταύτην αἱ μετρήσεις ἐγένοντο καθ' ἐκάστην ἀκεραίαν ὥραν ἀπὸ τῆς 8^h μέχρι τῆς 17^h ΕΩΕ.

3) Περίοδος Σ περιλαμβάνουσα 32 ήμέρας τοῦ θέρους 1971, ἵτοι τὰς ήμέρας 17 - 18 Ἰουνίου, 20 - 27 Ἰουνίου, 10 - 19 Ἰουλίου, 2 - 9 Αὐγούστου καὶ 11 - 12 Αὐγούστου (Μποζινέκης καὶ συν., 1971, Λίναρης καὶ συν., 1971). Κατὰ τὴν περίοδον ταύτην αἱ μετρήσεις ἐγένοντο καθ' ἐκάστην ἀκεραίαν ὥραν ἀπὸ τῆς 8^ῃ μέχρι τῆς 17^ῃ ΕΩΕ.

4) Περίοδος Δ περιλαμβάνουσα 18 ήμέρας τοῦ θέρους 1972, ἵτοι τὰς ήμέρας 30 Ἰουλίου - 2 Αὐγούστου καὶ 19 Αὐγούστου - 1 Σεπτεμβρίου ('Ασπρίδης καὶ συν., 1972). Κατὰ τὴν περίοδον ταύτην αἱ μετρήσεις ἐγένοντο καθ' ἐκάστην ἀκεραίαν ὥραν καθ' ὅλην τὴν διάρκειαν τοῦ 24ώρου.

5) Περίοδος Ε περιλαμβάνουσα 24 ήμέρας τοῦ θέρους 1974, ἵτοι τὰς ήμέρας 14 - 18 Ἰουνίου, 20 - 28 Ἰουνίου καὶ 9 - 18 Ἰουλίου ('Αγιάλεω καὶ συν., 1974). Κατὰ τὴν περίοδον ταύτην αἱ μετρήσεις ἐγένοντο καθ' ἐκάστην ἀκεραίαν ὥραν καθ' ὅλην τὴν διάρκειαν τοῦ 24ώρου.

Τῇ βοηθείᾳ τῶν τιμῶν τῆς ζενιθίας ἀποστάσεως αἱ ὄποιαι ἐμετρήθησαν εἰς ἔκαστον σταθμὸν καὶ τῆς γνωστῆς τιμῆς τῆς ὑψομετρικῆς διαφορᾶς τῶν δύο σταθμῶν ὑπελογίσθησαν αἱ τιμαὶ τοῦ τοπικοῦ συντελεστοῦ γεωδαιτικῆς διαθλάσεως K_F καὶ K_P διὰ τοὺς δύο σταθμοὺς Φανέρ Τούμπα καὶ Πανόραμα ἐκ τῆς σχέσεως (2. 6). Τῇ βοηθείᾳ τῶν οὕτως εὑρεθεισῶν τιμῶν τῶν K_F καὶ K_P ὑπελογίσθη ἐν συνεχείᾳ ἡ τιμὴ τοῦ μέσου συντελεστοῦ γεωδαιτικῆς διαθλάσεως K κατὰ μῆκος τοῦ τόξου τοῦ συνδέοντος τοὺς σταθμοὺς Φανέρ Τούμπα καὶ Πανόραμα τῇ βοηθείᾳ τῆς σχέσεως¹

$$K = \frac{1}{2} (K_F + K_P).$$

4. ΜΕΤΑΒΟΛΗ ΤΟΥ ΣΥΝΤΕΛΕΣΤΟΥ ΓΕΩΔΑΙΤΙΚΗΣ ΔΙΑΘΛΑΣΕΩΣ ΜΕΤΑ ΤΟΥ ΧΡΟΝΟΥ

Οἱ Mavridis and Papadimitriou (1971, 1973) ἐμελέτησαν τὴν μεταβολὴν τοῦ συντελεστοῦ γεωδαιτικῆς διαθλάσεως εἰς τὴν περιοχὴν τῆς Θεσσαλονίκης χρησιμοποιοῦντες τὸ ὑλικὸν παρατηρήσεων τῆς περιόδου Α καὶ μέρος τοῦ ὑλικοῦ παρατηρήσεων τῶν περιόδων Β καὶ Σ. Διὰ νὰ καταστῇ δυνατὴ μία περισ-

1. Αἱ τιμαὶ τῶν K_F , K_P καὶ K δὲν διωρθώθησαν λόγῳ ἀποκλίσεως τῆς κατακορύφου. Ἀλλωστε, ἡ διόρθωσις αὐτὴ εἶναι ἀφ' ἐνὸς μὲν πολὺ μικρά, ἀφ' ἐτέρου δὲ σταθερά, καὶ ὡς ἐκ τούτου δὲν ἐπηρεάζει τὴν μεταβολὴν τοῦ K μετὰ τοῦ χρόνου, ἡ ὄποια ἀποτελεῖ τὸ κύριον ἀντικείμενον τῆς παρούσης ἐργασίας.

σύτερον ἐνδελεχής μελέτη τοῦ δλου φαινομένου, εἰς τὴν παροῦσαν ἔργασίαν ἔχοησιμοποιήθη τὸ ὑλικὸν παρατηρήσεων τὸ δποῖον ἀντιστοιχεῖ εἰς τὸ σύνολον τῶν περιόδων Α ἕως Ε. Τῇ βοηθείᾳ τοῦ ὑλικοῦ τούτου ἐγένοντο αἱ ἀκόλουθοι διερευνήσεις :

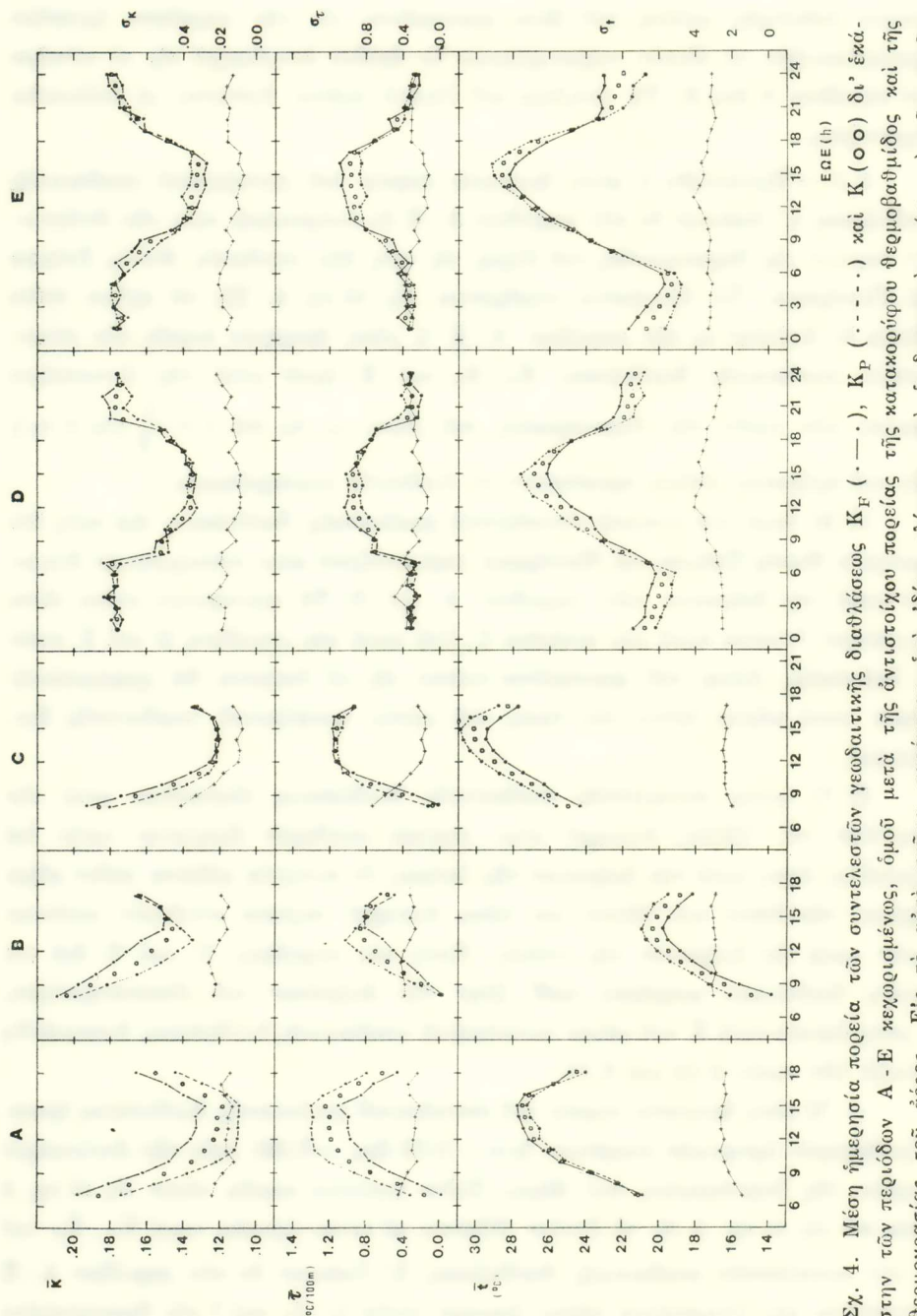
4. 1.—^o Έμελετήθη ἡ μέση ἡμερησία πορεία τοῦ συντελεστοῦ γεωδαιτικῆς διαθλάσεως δι' ἐκάστην ἐκ τῶν περιόδων Α - Ε ἐν συσχετισμῷ πρὸς τὴν ἀντιστοιχὸν πορείαν τῆς θερμοκρασίας τοῦ ἀέρος, εἰς τὸν δύο σταθμοὺς Φανὲρ Τούμπα καὶ Πανόραμα. Τὰ ἔξαγόμενα παρέχονται εἰς τὸ σχ. 4. Εἰς τὸ σχῆμα τοῦτο δίδεται δι' ἐκάστην ἐκ τῶν περιόδων Α - Ε ἡ μέση ἡμερησία πορεία τῶν συντελεστῶν γεωδαιτικῆς διαθλάσεως K_F , K_P καὶ K διμοῦ μετὰ τῆς ἀντιστοίχου πορείας τῶν τιμῶν τῆς θερμοκρασίας τοῦ ἀέρος t_F , t_P καὶ $t = \frac{1}{2} (t_F + t_P)$.

Ἐκ τοῦ σχήματος τούτου προκύπτουν τὰ ἀκόλουθα συμπεράσματα :

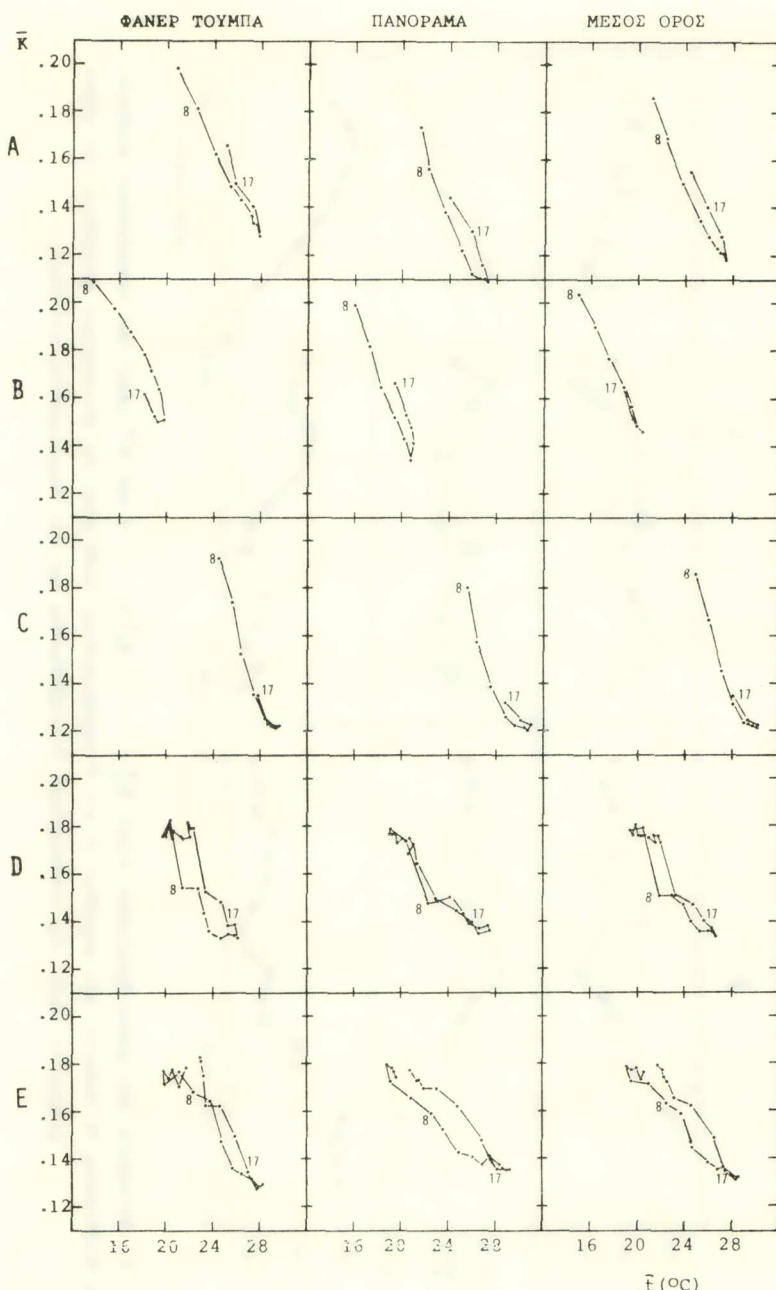
α) Αἱ τιμαὶ τοῦ τοπικοῦ συντελεστοῦ γεωδαιτικῆς διαθλάσεως διὰ τὸν δύο σταθμοὺς Φανὲρ Τούμπα καὶ Πανόραμα παρουσιάζουν μίαν συστηματικὴν διαφορὰν κατὰ τὴν διάρκειαν τῶν περιόδων Α καὶ Β. Τὸ φαινόμενον τοῦτο εἶναι διλιγώτερον ἔντονον κατὰ τὴν περίοδον C, ἐνῷ κατὰ τὰς περιόδους D καὶ E παύει νὰ ὑφίσταται. Λόγῳ τοῦ φαινομένου τούτου εἰς τὰ ἐπόμενα θὰ χρησιμοποιήσωμεν κατὰ κύριον λόγον τὰς τιμὰς τοῦ μέσου συντελεστοῦ γεωδαιτικῆς διαθλάσεως.

β) Ο μέσος συντελεστὴς γεωδαιτικῆς διαθλάσεως ἐλαττοῦται μετὰ τὴν ἀνατολὴν τοῦ Ἡλίου, διατηρεῖ μίαν περίπου σταθερὰν ἐλαχίστην τιμὴν ἐπὶ ὀρισμένας ὥρας κατὰ τὴν διάρκειαν τῆς ἡμέρας, ἐν συνεχείᾳ αὐξάνει πάλιν μέχρι περίπου τὴν δύσιν τοῦ Ἡλίου, καὶ τέλος διατηρεῖ περίπου σταθερὰν μεγίστην τιμὴν κατὰ τὴν διάρκειαν τῆς νυκτός. Κατὰ τὰς περιόδους D καὶ E διὰ τὰς δποίας διαθέτομεν μετρήσεις καθ' ὅλην τὴν διάρκειαν τοῦ εἰκοσιτετραώρου, ἡ μέση ὡριαία τιμὴ \bar{K} τοῦ μέσου συντελεστοῦ γεωδαιτικῆς διαθλάσεως διεκυμάνθη μεταξὺ τῶν τιμῶν 0.13 καὶ 0.18.

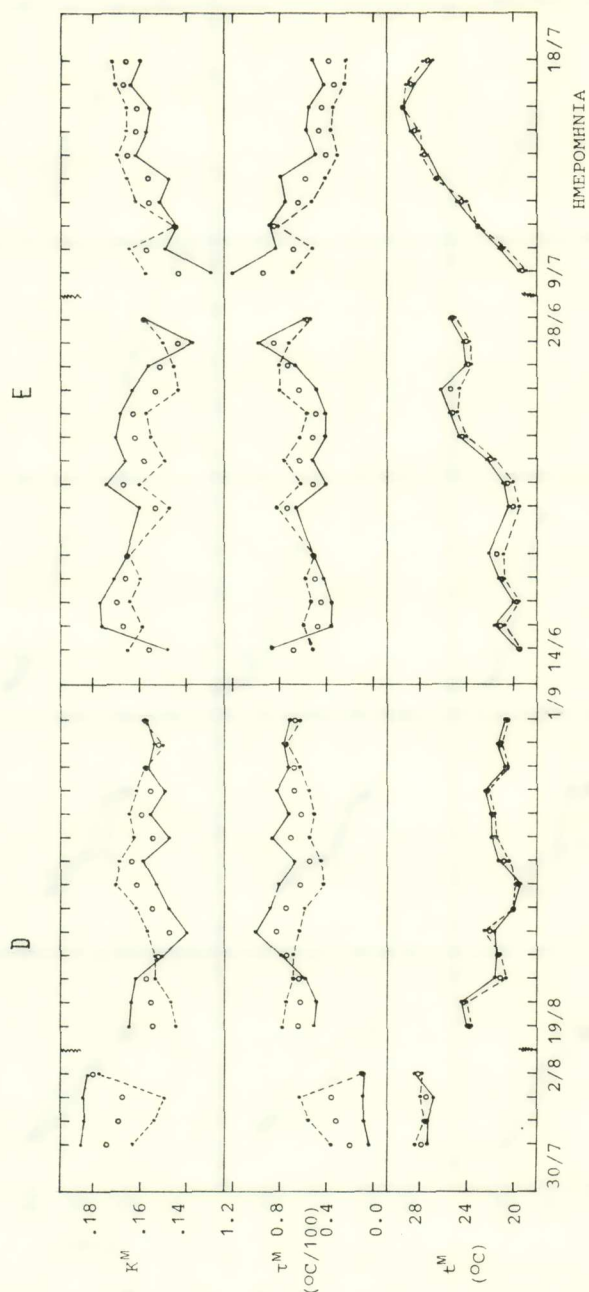
γ) Η μέση ἡμερησία πορεία τοῦ συντελεστοῦ γεωδαιτικῆς διαθλάσεως ἐμφανίζει ίσχυρὰν ἀρνητικὴν συσχέτισιν ($r = -0.89$ ἕως -0.99) πρὸς τὴν ἀντιστοιχὸν πορείαν τῆς θερμοκρασίας τοῦ ἀέρος. Τοῦτο φαίνεται σαφῶς τόσον εἰς τὸ σχ. 4 δύσον καὶ εἰς τὸ σχ. 5 εἰς τὸ δποῖον δίδονται αἱ μέσαι ὡριαίαι τιμαὶ \bar{K}_F , \bar{K}_P καὶ \bar{K} τῶν συντελεστῶν γεωδαιτικῆς διαθλάσεως δι' ἐκάστην ἐκ τῶν περιόδων Α - Ε συναρτήσει τῶν ἀντιστοίχων μέσων ὡριαίων τιμῶν \bar{t}_F , \bar{t}_P καὶ \bar{t} τῆς θερμοκρασίας τοῦ ἀέρος. Θεραπεύοντας τούτου προκύπτει ἐπὶ πλέον ὅτι εἰς τὰς περισσότερας τῶν περιπτώσεων οἱ κλάδοι τῶν βρόγχων (\bar{K}_F, \bar{t}_F) , (\bar{K}_P, \bar{t}_P) καὶ (\bar{K}, \bar{t})



Σχ. 4. Μέση ημερησία πορεία τῶν συντελεστῶν γεωδαιτικῆς διαθήσεως K_F (—), K_P (· · · · ·) και K (○ ○) δι' έκάστην τῶν περιόδων Α - Ε αερωδιμένως, μιαοῦ μετὰ τῆς ἀντιστοίχου πορείας τῆς καταχόντου θερμοβαθμίδος και τῆς θερμοκρασίας τοῦ ἀέρος. Εἰς τὸ αὐτὸ σήμα παρέχεται ὑπὸ ίδεαν κλίμακα καὶ ἡ διασπορὰ σ (+ - +) τῶν τιμῶν τῶν K , τ καὶ t διὰ τὴν ἀντιστοίχον ὥραν τοῦ επιστρεφαδόρου.



Σχ. 5. Σχέσις μεταξύ τῶν μέσων ώριαίων τιμῶν \bar{K}_F , \bar{K}_P και \bar{K} τοῦ συντελεστοῦ γεωδαιτικῆς διαθλάσεως δι' ἑκάστην τῶν περιόδων A-E κεχωρισμένως και τῶν ἀντιστοίχων μέσων ώριαίων τιμῶν \bar{k}_F , \bar{k}_P και \bar{k} τῆς θερμοκρασίας τοῦ ἀέρος.

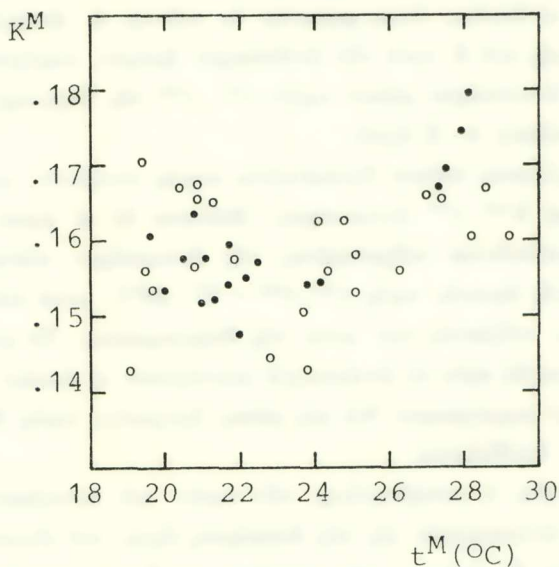


Σχ. 6. Μεταβολή των μέσων ήμερης πτυμάν $K_{p_i}^M$ (—·—), K_p^M (·---·) και K^M (○○) του συντελεστού γεωδαιτικής διαθλάσεως δι' έκαστην την περιόδων D και E περιορισμένος διού μετά της άντιστοίχου μεταβολής των μέσων ήμερης πτυμάν της αστακούρφου θερμοβαθμίδος και της θερμοχραστικού αέρος,

ποὺ ἀντιστοιχοῦν εἰς τὰς μεταμεσημβρινὰς ὥρας κεῖνται ὑπεράνω τῶν αλάδων ποὺ ἀντιστοιχοῦν εἰς τὰς προμεσημβρινὰς ὥρας.

4. 2.—Ἐμελετήθησαν αἱ μεταβολαὶ τῆς ἡμερησίας πορείας τοῦ συντελεστοῦ γεωδαιτικῆς διαθλάσεως κατὰ τὴν διάρκειαν τοῦ ἔτους καὶ ἀπὸ ἔτους εἰς ἔτος. Οὕτως :

α) Ἐμελετήθη ἡ μεταβολὴ τῆς μέσης ἡμερησίας τιμῆς τοῦ συντελεστοῦ γεωδαιτικῆς διαθλάσεως ἀπὸ ἡμέρας εἰς ἡμέραν. Τὸ σχ. 6 δίδει τὰς μέσας ἡμερησίας τιμὰς K_F^M , K_P^M καὶ K^M τοῦ συντελεστοῦ γεωδαιτικῆς διαθλάσεως διμοῦ μὲ τὰς ἀντιστοίχους μέσας ἡμερησίας τιμὰς τῆς θερμοκρασίας τοῦ ἀέρος διὰ τὰς περιό-



Σχ. 7. Σχέσις μεταξὺ τῶν μέσων ἡμερησίων τιμῶν K^M τοῦ συντελεστοῦ γεωδαιτικῆς διαθλάσεως δι' ἐκάστην ἡμέραν παρατηρήσεως τῶν δύο περιόδων D (.) καὶ E (○) διμοῦ καὶ τῶν ἀντιστοίχων τιμῶν t_M τῆς θερμοκρασίας τοῦ ἀέρος.

δους D καὶ E διὰ τὰς διαφορὰς διαθέτομεν μετρήσεις καθ' ὅλην τὴν διάρκειαν τοῦ 24ώρου. Ἐκ τοῦ σχήματος τούτου δὲν προκύπτει σαφῆς συσχέτισις μεταξὺ τῆς μεταβολῆς τῶν μέσων ἡμερησίων τιμῶν τοῦ συντελεστοῦ γεωδαιτικῆς διαθλάσεως ἀπὸ ἡμέρας εἰς ἡμέραν καὶ τῆς ἀντιστοίχου μεταβολῆς τῆς θερμοκρασίας τοῦ ἀέρος. Διὰ νὰ μελετηθῇ λεπτομερέστερον τὸ φαινόμενον κατεσκευάσθη τὸ σχ. 7

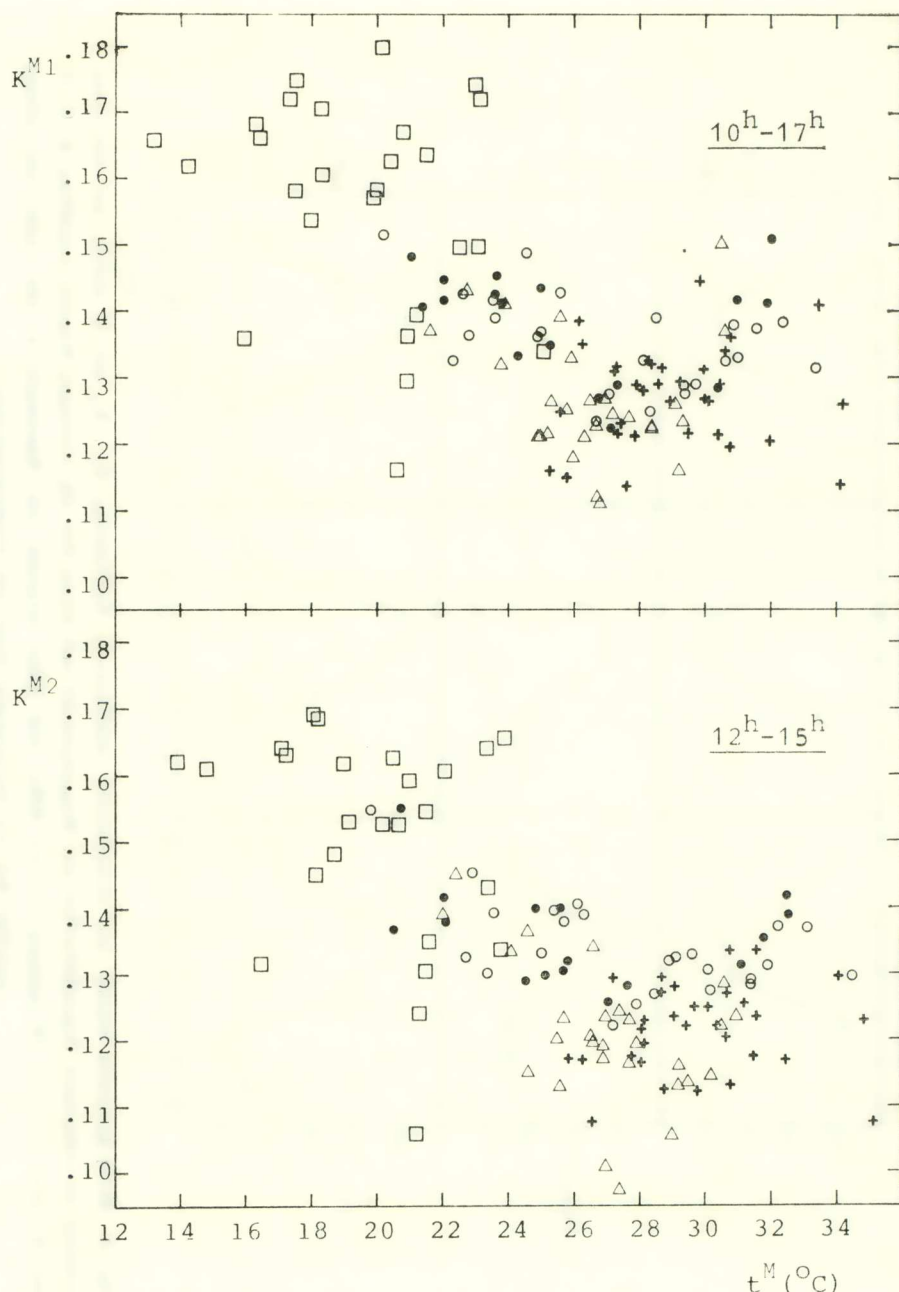
εἰς τὸ ὄποιον παρέχονται αἱ μέσαι ἡμερήσιαι τιμαὶ K^M τοῦ συντελεστοῦ γεωδαιτικῆς διαθλάσεως συναρτήσει τῶν ἀντιστοίχων τιμῶν t^M τῆς θερμοκρασίας τοῦ ἀέρος διὰ τὰς περιόδους Δ καὶ Ε ὅμοι. Ἐκ τοῦ σχήματος τούτου διαπιστοῦται μία σαφῆς συσχέτισις μεταξὺ τῶν τιμῶν K^M καὶ t^M . Μάλιστα δὲ ἡ τιμὴ τοῦ K^M ἀρχικῶς μὲν ἐλαττοῦται αὐξανομένης τῆς τιμῆς τοῦ t^M , μέχρι μιᾶς ὀριακῆς τιμῆς $t^M = 22 - 24^\circ C$, μετὰ ταῦτα ὅμως αὐξάνει αὐξανομένης τῆς τιμῆς τοῦ t^M .

β) Ἐμελετήθη ἡ μεταβολὴ τῆς ἐλαχίστης τιμῆς τοῦ μέσου συντελεστοῦ γεωδαιτικῆς διαθλάσεως ἀπὸ ἡμέρας εἰς ἡμέραν. Πρὸς τοῦτο ὑπελογίσθησαν αἱ μέσαι τιμαὶ K^{M1} καὶ K^{M2} τοῦ K διὰ τὰ χρονικὰ διαστήματα $12^h - 15^h$ ΕΩΕ καὶ $10^h - 17^h$ ΕΩΕ ἀντιστοίχως ἐκάστης ἡμέρας παρατηρήσεων τῶν περιόδων A - E. Αἱ τιμαὶ αὗται, αἱ διαφοραὶ, δύος φαίνεται ἐκ τοῦ σχ. 4, ἀποτελοῦν ἔνα μέτρον τῆς ἐλαχίστης τιμῆς τοῦ K κατὰ τὴν ἀντιστοίχον ἡμέραν, παρέχονται εἰς τὸ σχ. 8 συναρτήσει τῶν ἀντιστοίχων μέσων τιμῶν t^{M1} , t^{M2} τῆς θερμοκρασίας τοῦ ἀέρος, δι᾽ ὅλας τὰς περιόδους A - E ὅμοι.

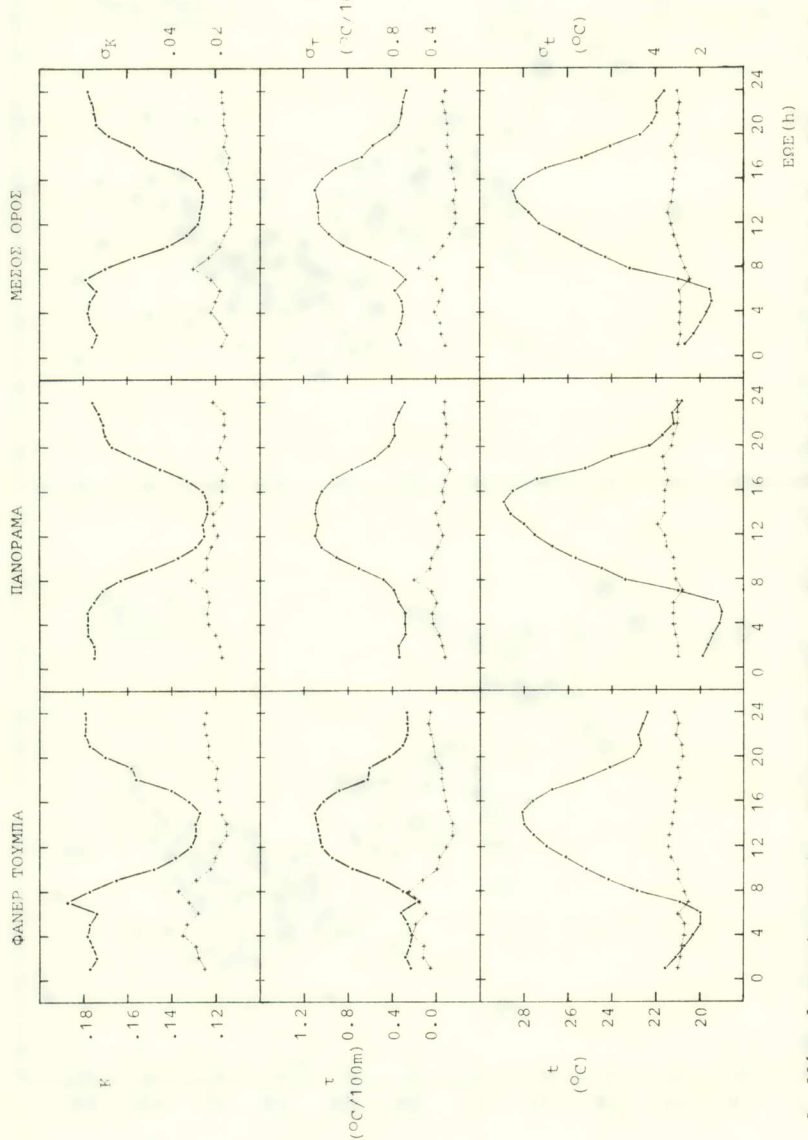
Ἐκ τοῦ σχήματος τούτου διαπιστοῦται σαφῆς συσχέτισις μεταξὺ τῶν τιμῶν τῶν K^{M1} , t^{M1} καὶ K^{M2} , t^{M2} ἀντιστοίχως. Μάλιστα δὲ αἱ τιμαὶ τῶν K^{M1} , K^{M2} ἀρχικῶς μὲν ἐλαττοῦνται αὐξανομένης τῆς ἀντιστοίχου μέσης θερμοκρασίας t^{M1} , t^{M2} μέχρι μιᾶς ὀριακῆς τιμῆς t^{M1} , $t^{M2} = 27 - 28^\circ C$, μετὰ ταῦτα ὅμως ἐμφανίζεται μία τάσις αὐξήσεώς των μετὰ τῆς θερμοκρασίας. Τὸ φαινόμενον τοῦτο συσχετίζεται ἀσφαλῶς πρὸς τὸ ἀντίστοιχον φαινόμενον τὸ ὄποιον ἐπεσημάνθη εἰς τὴν προηγούμενην παραγάγραφον διὰ τὰς μέσας ἡμερησίας τιμὰς K^M τοῦ συντελεστοῦ γεωδαιτικῆς διαθλάσεως.

γ) Ἐμελετήθη ἡ μεταβλητότης τῶν τιμῶν τοῦ συντελεστοῦ γεωδαιτικῆς διαθλάσεως ποὺ ἀνιστοιχοῦν εἰς τὰς διαφόρους ὥρας τοῦ εἰκοσιτετραώρου ἀπὸ ἡμέρας εἰς ἡμέραν δι᾽ ἐκάστην τῶν περιόδων A - E κεχωρισμένως. Εἰς τὰ διαγράμματα τῆς πρώτης σειρᾶς τοῦ σχ. 4 παρέχονται ὑπὸ κλίμακα αἱ τιμαὶ τῆς διασπορᾶς σ τῶν τιμῶν τοῦ K δι᾽ ἐκάστην ὥραν τοῦ εἰκοσιτετραώρου τῆς ἀντιστοίχου περιόδου παρατηρήσεων. ᘾ οὐσία τοῦ σχήματος τούτου διαπιστοῦται ὅτι ἡ διασπορὰ σ καθίσταται ἐλαχίστη καὶ ἵση περίπου πρὸς ± 0.01 κατὰ τὰς ὥρας $10^h - 17^h$ ΕΩΕ.

δ) Ἐπειδὴ αἱ γεωδαιτικαὶ μετρήσεις διεξάγονται κυρίως κατὰ τοὺς θερινοὺς μῆνας εἶναι χρήσιμον νὰ ἔχωμεν πληροφορίας διὰ τὴν μέσην ἡμερησίαν πορείαν τοῦ συντελεστοῦ γεωδαιτικῆς διαθλάσεως κατὰ τὴν περίοδον ταύτην. Εἰς τὸ σχ. 9 παρέχεται ἡ μέση ἡμερησία πορεία τῶν τιμῶν τῶν συντελεστῶν γεωδαιτικῆς διαθλάσεως K_P , K_P καὶ K ποὺ ἀντιστοιχεῖ εἰς τὰς τέσσαρας θερινὰς περιόδους ὅμοι.



Σχ. 8. Σχέσις μεταξύ των μέσων τιμών K^{M1} και K^{M2} του συντελεστού γεωδαιτικής διαθλάσεως διά τὰ χρονικά διαστήματα $12^h - 15^h$ ΕΩΕ και $10^h - 17^h$ ΕΩΕ άντιστοίχως έκαστης ήμέρας παρατηρήσεων των πέντε περιόδων A (Δ), B (\square), C (+), D (.) και E (o) δημού και των άντιστοίχων μέσων τιμών t^{M1} και t^{M2} της θερμοκρασίας του άέρος.



Σχ. 9. Μέση ήμεροτιά πορεία των συντελεστών γεωδαιτικής διαθλασσεως K_F , K_P και K καθώς και των άνταστοίχων κατακορύφων θερμοβαθμίδων και θερμοκρασῶν του άέρου διὰ τὰς τέσσαρας θερινές περιόδους **A**, **C**, **D** και **E** διαμιγή (—). **H** γραμμή (—+). Η γραμμή (—+) δίδει ύπολιθαν αλίμανα την διασποράν σ τῶν τιμῶν τῶν αλιών μεγεθῶν διὰ τὴν αντίστοιχον όρογν τοῦ είσοδου τετράδων.

Εἰς τὸ αὐτὸ σχῆμα δίδεται ὑπὸ κλίμακα καὶ ἡ διασπορὰ σ τῶν τιμῶν τοῦ K_F , K_P καὶ K δι' ἐκάστην ὥραν τοῦ εἰκοσιτετραώρου διὰ τὰς τέσσαρας ταύτας περιόδους παρατηρήσεων. Ἐκ τοῦ σχήματος τούτου διαπιστοῦται ὅτι ἡ διασπορὰ σ_K καθίσταται ἐλαχίστη καὶ ἵση περίπου πρὸς ± 0.01 κατὰ τὰς ὥρας $10^{\text{h}} - 17^{\text{h}}$ ΕΩΕ.

5. ΠΡΟΣΔΙΟΡΙΣΜΟΣ ΤΗΣ ΤΙΜΗΣ ΤΗΣ ΚΑΤΑΚΟΡΥΦΟΥ ΘΕΡΜΟΒΑΘΜΙΔΟΣ ΕΚ ΤΟΥ ΣΥΝΤΕΛΕΣΤΟΥ ΓΕΩΔΑΙΤΙΚΗΣ ΔΙΑΘΛΑΣΕΩΣ

5.1. Ἡ γνῶσις τῶν τιμῶν τῆς κατακορύφου θερμοβαθμίδος εἰς μίαν περιοχὴν καὶ τῶν μεταβολῶν αὐτῆς τόσον κατὰ τὴν διάρκειαν τῆς ἡμέρας ὅσον καὶ ἀπὸ ἡμέρας εἰς ἡμέραν, παρουσιάζει ἴδιαίτερον ἐνδιαφέρον ἀπὸ πολλῶν ἀπόψεων. Εἰς τὴν Ἑπίγειον Γεωδαισίαν μᾶς ἐνδιαφέρει κυρίως ἡ κατακόρυφος θερμοβαθμίδης διὰ ὅψη μερικῶν ἐκαποντάδων μέτρων ἀπὸ τῆς ἐπιφανείας τοῦ ἔδαφους, τόσον διὰ τὴν μελέτην τῆς γεωδαιτικῆς διαθλάσεως ὅσον καὶ διὰ τὴν ἡλεκτρομαγνητικὴν μέτρησιν τῶν ἀποστάσεων. Ἀντιθέτως, εἰς τὴν Δορυφορικὴν Γεωδαισίαν μᾶς ἐνδιαφέρει ἡ κατακόρυφος θερμοβαθμίδης διὰ πολὺ μεγαλύτερα ὅψη. Ἡ κυριωτέρα πηγὴ πληροφοριῶν περὶ τῆς κατακορύφου θερμοβαθμίδος ἦσαν μέχρι σήμερον αἱ φαδιοβολήσεις, αἱ δύοιαι διεξάγονται κυρίως ἀπὸ τοὺς μετεωρολόγους διὰ τὴν διερεύνησιν τῶν μετεωρολογικῶν συνθηκῶν εἰς τὴν ἀνωτέραν ἀτμόσφαιραν. Πλὴν ὅμως αἱ φαδιοβολήσεις αὗται εἶναι ἔξαιρετικῶς περιωρισμένης συχνότητος. Οὕτω λ. χ., εἰς τὸν ἑλλαδικὸν χῶρον γίνονται κατ' ἀνώτατον ὅριον δύο φαδιοβολήσεις ἀνὰ 24ωρον (ἥτοι τὴν 2^{h} καὶ 14^{h} ΕΩΕ) εἰς τοὺς τρεῖς σταθμοὺς ἀνωτέρας ἀτμοσφαιρίας τῆς χώρας, ἥτοι εἰς τὰς Ἀθήνας (‘Αεροδρόμιον ‘Ελληνικοῦ), Θεσσαλονίκην (‘Αεροδρόμιον Μίκρας) καὶ Ἡράκλειον (‘Αεροδρόμιον ‘Ηρακλείου). Πλὴν ὅμως διὰ διαφόρους λόγους καὶ κατὰ τὴν ἐκτέλεσιν τοῦ προγράμματος τούτου ἐμφανίζονται, τελικῶς, πολυάριθμα κενά, ἀκόμη καὶ κατὰ τὴν τελευταίαν δεκαετίαν. Ἐκ τῶν ἀνωτέρων καθίσταται σαφῆς ἡ μεγάλη σημασία τὴν δύοιαν ἔχει ἡ ἀνάπτυξις ἐτέρων ἀπλουστέρων μεθόδων διὰ τὴν μελέτην τῆς κατακορύφου θερμοβαθμίδος.

5.2. Ἐκ τῆς σχέσεως (2.4) ὅμως διαπιστοῦται ὅτι, ὅταν προσδιορίσωμεν τὴν βιοηθείᾳ τῆς μεθόδου τῶν ἀπλῶν ἢ τῶν ἀμοιβαίων σκοπεύσεων τὴν τιμὴν τοῦ τοπικοῦ ἢ τοῦ μέσου συντελεστοῦ γεωδαιτικῆς διαθλάσεως, τότε δυνάμεθα ἐπιλύοντες τὴν σχέσιν ταύτην ὡς πρὸς τὸν προσδιορίσωμεν καὶ τὴν τιμὴν τῆς κατακορύφου θερμοβαθμίδος, καθ' ὅσον αἱ τιμαὶ τῆς θερμοκρασίας τοῦ ἀέρος τ καὶ τῆς ἀτμοσφαιρικῆς πιέσεως ρ μᾶς εἴναι γνωσταί.

5. 3. Τοιουτορόπως, έχομεν μίαν νέαν μέθοδον προσδιορισμοῦ τῆς τιμῆς τῆς κατακορύφου θερμοβαθμίδος ἐκ τοῦ συντελεστοῦ γεωδαιτικῆς διαθλάσεως. Ἡ μέθοδος αὗτη μᾶς ἐπιτρέπει νὰ προσδιορίσωμεν τὴν τιμὴν τῆς κατακορύφου θερμοβαθμίδος εἰς τὴν στιβάδα τῆς ἀτμοσφαίρας ἢ ὅποια περιλαμβάνεται μεταξὺ δύο ἐπιγείων σταθμῶν P_1 καὶ P_2 τῇ βοηθείᾳ ἐπιγείων μετεωρολογικῶν παρατηρήσεων καὶ ἀπλῶν γεωδαιτικῶν μετρήσεων. Συγκεκριμένως, ὅταν γνωρίζωμεν ἐκ τῶν προτέρων τὴν δριζοντίαν ἀπόστασιν S_{12} καὶ τὴν ὑψομετρικὴν διαφορὰν Δh_{12} μεταξὺ τῶν σταθμῶν P_1 , P_2 , ἀρκεῖ νὰ μετρήσωμεν τὰς τιμὰς t_1 , p_1 τῆς θερμοκρασίας τοῦ ἀέρος καὶ τῆς ἀτμοσφαιρικῆς πιέσεως εἰς τὸν σταθμὸν P_1 , καὶ νὰ προσδιορίσωμεν, τῇ βοηθείᾳ ἀπλῶν σκοπεύσεων διὰ θεοδολίχου, τὴν φαινομένην ζενιθίαν ἀπόστασιν Z_1 τοῦ σταθμοῦ P_2 ὡς πρὸς τὸν σταθμὸν P_1 (σχ. 1), δόπτε ὑπολογίζομεν εὐκόλως καὶ τὴν τιμὴν t_1 τῆς κατακορύφου θερμοβαθμίδος εἰς τὴν στιβάδα τῆς ἀτμοσφαίρας ποὺ περιλαμβάνεται μεταξὺ τῶν σταθμῶν P_1 , P_2 τῇ βοηθείᾳ τῶν σχέσεων (2. 4) καὶ (2. 6). Ἀλλὰ καὶ ὅταν γνωρίζωμεν μόνον τὴν δριζοντίαν ἀπόστασιν S_{12} , οὐχὶ δὲ καὶ τὴν ὑψομετρικὴν διαφορὰν Δh_{12} μεταξὺ τῶν σταθμῶν P_1 , P_2 , τότε ἀρκεῖ νὰ μετρήσωμεν καὶ πάλιν τὰς τιμὰς t_1 , p_1 , καὶ t_2 , p_2 τῆς θερμοκρασίας τοῦ ἀέρος καὶ τῆς ἀτμοσφαιρικῆς πιέσεως εἰς τὸν σταθμὸν P_1 , P_2 καὶ νὰ προσδιορίσωμεν τῇ βοηθείᾳ ταυτοχρόνων ἀμοιβαίων σκοπεύσεων διὰ θεοδολίχου μεταξὺ τῶν σταθμῶν P_1 , P_2 τὰς τιμὰς τῶν φαινομένων ζενιθίων ἀποστάσεων Z_1 , Z_2 τῶν σταθμῶν P_1 , P_2 ὡς πρὸς ἄλλήλους (σχ. 1), δόπτε ὑπολογίζομεν εὐκόλως καὶ τὴν τιμὴν τῆς κατακορύφου θερμοβαθμίδος εἰς τὴν στιβάδα τοῦ ἀέρος ποὺ περιλαμβάνεται μεταξὺ τῶν σταθμῶν P_1 , P_2 τῇ βοηθείᾳ τῶν σχέσεων (2. 4) καὶ (2. 7).

Διὰ τῆς μεθόδου ταύτης ὑπελογίσθησαν αἱ τιμαὶ t_F , t_P καὶ τὴν τιμὴν τῆς κατακορύφου θερμοβαθμίδος εἰς τὴν στιβάδα τῆς ἀτμοσφαίρας ποὺ περιλαμβάνεται μεταξὺ τῶν σταθμῶν Φανέρῳ Τούμπα καὶ Πανόραμα αἱ ἀντιστοιχοῦσαι εἰς τὰς ἐκ τῶν μετρήσεων προκυψάσας τιμὰς τῶν συντελεστῶν γεωδαιτικῆς διαθλάσεως K_F , K_P καὶ K κατὰ τὰς 1924 ὥριαίας μετρήσεις τῶν 128 ἡμερῶν τῶν περιόδων Α - Ε. Ἀπεκτήθη, τοιουτορόπως, πλούσιον ὑλικὸν παρατηρήσεων διὰ τὴν μελέτην τῆς κατακορύφου θερμοβαθμίδος εἰς τὴν ἀντίστοιχον περιοχήν.

5. 4. Διὰ νὰ ἐλέγχωμεν τὴν ἀκρίβειαν τῶν τιμῶν τῆς κατακορύφου θερμοβαθμίδος αἱ διοῖαι ὑπολογίζονται διὰ τῆς ἀνωτέρω μεθόδου, προέβημεν εἰς τὴν σύγκρισιν τῶν τιμῶν τούτων διὰ τὴν 14^η ΕΩΕ πρὸς τὰς τιμὰς τῆς κατακορύφου θερμοβαθμίδος διὰ τὴν αὐτὴν ἡμέραν καὶ ὥραν ποὺ προκύπτουν ἀπὸ τὰς φαδιοβολήσεις αἱ διοῖαι ἐγένοντο εἰς τὸ Ἀεροδρόμιον Μίκρας (Σαββαΐδης, 1981). Τὰ ἔξαγόμενα παρέχονται εἰς τὸν πίνακα 1. Εἰς τὸν πίνακα τοῦτον παρέχονται δι'

Π Ι Ν Α Ε 1.

Μέση τιμή $\bar{\Delta\tau}$ και διασπορά $\sigma_{\Delta\tau}$ τῶν τιμῶν τῆς διαφορᾶς $\Delta\tau = \tau - \tau^R$, ἐνθα τ και τ^R εἶναι ἀντιστοίχως αἱ τιμαὶ τῆς κατακορύφου θερμοβαθμίδος διὰ τὴν 14^h ΕΩΣ τῶν κοινῶν ἡμερῶν αἱ ὑπολογιζόμεναι διὰ τῆς μεθόδου τῆς § 5.3 καὶ ἐπὶ τῇ βάσει τῶν ἔξαγομένων τῶν φαδιοβολήσεων.

Περίοδος παρατηρήσεων	Άριθμὸς ἡμερῶν	$\bar{\Delta\tau}$ °C / 100 m	$\sigma_{\Delta\tau}$ °C / 100
A	26	0.23	0.44
B	11	.12	.32
C	12	.19	.29
D	18	-0.07	.30
E]	24	.07	.29

ἐκάστην τῶν περιόδων A - E ἡ μέση τιμὴ $\bar{\Delta\tau}$ καὶ ἡ διασπορὰ $\sigma_{\Delta\tau}$ τῶν διαφορῶν $\Delta\tau = \tau - \tau^R$, ἐνθα τ ἡ κατακόρυφος θερμοβαθμὶς διὰ τὴν στιβάδα τοῦ ἀέρος ποὺ περιλαμβάνεται μεταξὺ τῶν σταθμῶν Φανέρ Τούμπα καὶ Πανόραμα ἡ ὑπολογιζόμενη ἐκ τῆς ἀντιστοίχου τιμῆς τοῦ συντελεστοῦ γεωδαιτικῆς διαθλάσεως K καὶ τ^R ἡ κατακόρυφος θερμοβαθμὶς διὰ τὴν στιβάδα ἡ ὑπολογιζόμενη ἐκ τῶν φαδιοβολήσεων, ἀμφότεραι διὰ τὴν 14^h ΕΩΣ τῶν κοινῶν ἡμερῶν. Ἐκ τοῦ πίνακος τούτου διαπιστοῦται ὅτι ἡ μέση τιμὴ $\bar{\Delta\tau}$ τῆς διαφορᾶς $\Delta\tau = \tau - \tau^R$ εἶναι καὶ ἀπόλυτον τιμὴν τῆς τάξεως τοῦ 0.1 - 0.2°C/100 m, ἐνῷ ἡ ἀντίστοιχος διασπορὰ εἶναι τῆς τάξεως τοῦ $\pm 0.3 - 0.4$ °C/100 m. Ἡ ἀκρίβεια αὐτὴ πρέπει νὰ θεωρηθῇ ἵκανοποιητική, λαμβανομένου ὑπὸ δψιν ὅτι διὰ τὰ ὕψη τῶν ὀλίγων ἐκατοντάδων μέτρων ἀπὸ τῆς ἐπιφανείας τοῦ ἐδάφους ὁ προσδιορισμὸς τῆς κατακορύφου θερμοβαθμίδος τῇ βοηθείᾳ φαδιοβολήσεων εἶναι λίαν ἐπισφαλῆς.

6. ΜΕΤΑΒΟΛΗ ΤΗΣ ΚΑΤΑΚΟΡΥΦΟΥ ΘΕΡΜΟΒΑΘΜΙΔΟΣ ΜΕΤΑ ΤΟΥ ΧΡΟΝΟΥ

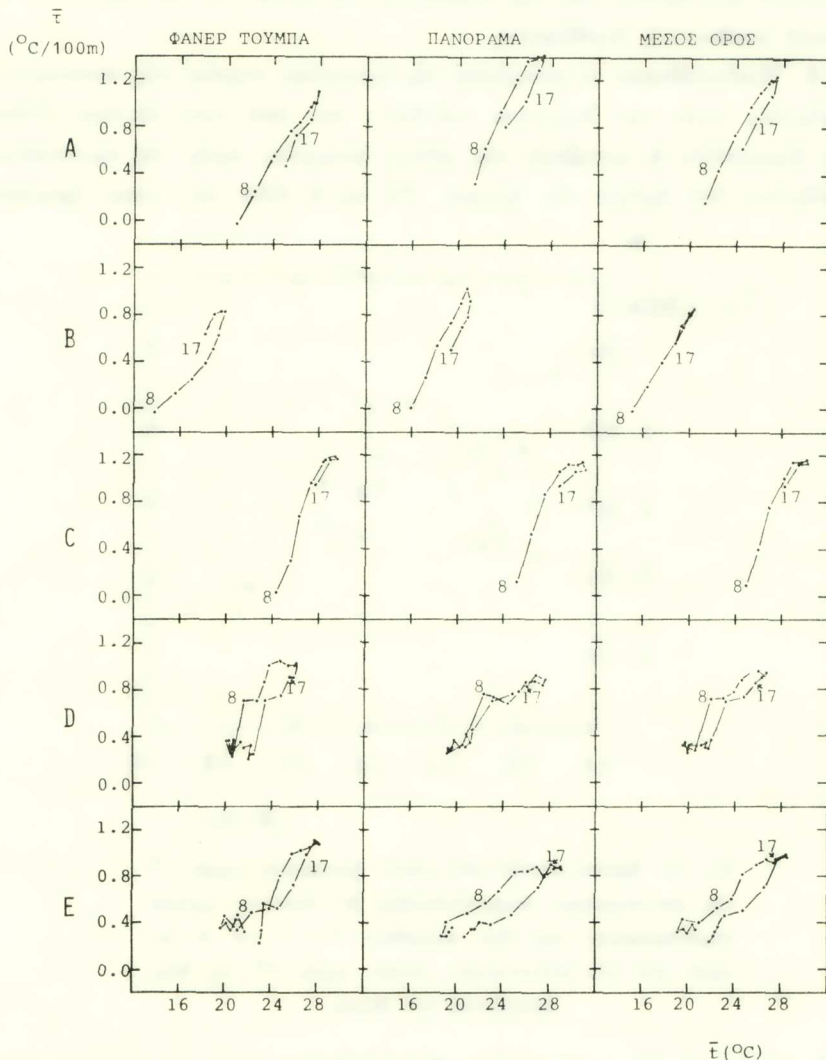
Τῇ βοηθείᾳ τῶν τιμῶν τῆς κατακορύφου θερμοβαθμίδος αἱ ὅποιαι εὑρέθησαν εἰς τὴν παράγραφον 5.3 ἐμελετήθη ἡ μεταβολὴ τῆς κατακορύφου θερμοβαθμίδος μετὰ τοῦ χρόνου. Οὕτως :

6.1. Ἐμελετήθη ἡ μέση ἡμερησία πορεία τῆς κατακορύφου θερμοβαθμίδος δι' ἐκάστην τῶν περιόδων Α - Ε κεχωρισμένως ἐν συσχετισμῷ πρὸς τὴν ἀντίστοιχον πορείαν τῆς θερμοκρασίας τοῦ ἀέρος εἰς τοὺς δύο σταθμοὺς Φανέρ Τούμπα καὶ Πανόραμα. Τὰ ἔξαγόμενα παρέχονται εἰς τὸ σχ. 4. Εἰς τὸ σχῆμα τοῦτο δίδεται δι' ἐκάστην τῶν περιόδων Α - Ε ἡ μέση ἡμερησία πορεία τῶν τιμῶν τ_F , τ_P καὶ τῆς κατακορύφου θερμοβαθμίδος διμοῦ μετὰ τῆς ἀντιστοίχου πορείας τῶν τιμῶν τῆς θερμοκρασίας τοῦ ἀέρος t_F , t_P καὶ $t = \frac{1}{2} (t_F + t_P)$. Ἐκ τοῦ σχήματος τούτου προκύπτουν τὰ ἀκόλουθα συμπεράσματα:

α) Αἱ τιμαὶ τῆς κατακορύφου θερμοβαθμίδος αἱ ὅποιαι προκύπτουν ἀπὸ τὰς τιμὰς K_F , K_P τοῦ τοπικοῦ συντελεστοῦ γεωδαιτικῆς διαθλάσεως διὰ τοὺς σταθμοὺς Φανέρ Τούμπα καὶ Πανόραμα παρουσιάζουν μίαν συστηματικὴν διαφορὰν κατὰ τὴν διάρκειαν τῶν περιόδων Α καὶ Β. Τὸ φαινόμενον τοῦτο εἶναι ὀλιγώτερον ἔντονον κατὰ τὴν περίοδον Σ, ἐνῷ κατὰ τὰς περιόδους Δ καὶ Ε παύει νὰ ὑφίσταται. Πρόκειται, δηλαδή, περὶ ἐνὸς φαινομένου ἀναλόγου πρὸς τὸ ἥδη σημειωθὲν διὰ τὴν περίπτωσιν τοῦ τοπικοῦ συντελεστοῦ γεωδαιτικῆς διαθλάσεως. Λόγῳ τοῦ φαινομένου τούτου, εἰς τὰ ἐπόμενα θὰ χρησιμοποιήσωμεν κατὰ κύριον λόγον τὰς τιμὰς τῆς κατακορύφου θερμοβαθμίδος τὸ ποὺ ὑπολογίζονται μὲ βάσιν τὸν μέσον συντελεστὴν γεωδαιτικῆς διαθλάσεως Κ.

β) Ἡ κατακόρυφος θερμοβαθμὶς τὸ ποὺ ὑπολογίζεται μὲ βάσιν τὸν μέσον συντελεστὴν γεωδαιτικῆς διαθλάσεως Κ αὐξάνει μετὰ τὴν ἀνατολὴν τοῦ Ἡλίου, διατηρεῖ μίαν περίπον σταθερὰν μεγίστην τιμὴν ἐπὶ ὁρισμένας ὡρας κατὰ τὴν διάρκειαν τῆς ἡμέρας, ἐν συνεχείᾳ ἐλαττοῦται καὶ πάλιν μέχρι περίπον τὴν δύσιν τοῦ Ἡλίου, καὶ τέλος διατηρεῖ περίπον σταθερὰν ἐλαχίστην τιμὴν κατὰ τὴν διάρκειαν τῆς νυκτός. Κατὰ τὰς περιόδους Δ καὶ Ε διὰ τὰς ὅποιας διαθέτομεν μετρήσεις καθ' ὅλην τὴν διάρκειαν τοῦ εἰκοσιτετραώρου, ἡ κατακόρυφος θερμοβαθμὶς $\bar{\tau}$ διεκυμάνθη μεταξὺ τῶν τιμῶν $0.3^{\circ}\text{C}/100\text{ m}$ καὶ $1.0^{\circ}\text{C}/100\text{ m}$.

γ) Ἡ μέση ἡμερησία πορεία τῆς κατακορύφου θερμοβαθμίδος ἐμφανίζει ἴσχυρὰν θετικὴν συσχέτισιν ($r = 0.87$ ἕως 0.99) πρὸς τὴν ἀντίστοιχον πορείαν τῆς θερμοκρασίας τοῦ ἀέρος. Τοῦτο φαίνεται σαφῶς τόσον εἰς τὸ σχ. 4 ὅσον καὶ εἰς τὸ σχ. 10, εἰς τὸ ὅποιον δίδονται αἱ μέσαι ὡριαῖαι τιμαὶ τ_F , τ_P , $\bar{\tau}$ τῆς κατακορύφου θερμοβαθμίδος δι' ἐκάστην ἐκ τῶν περιόδων Α - Ε συναρτήσει τῶν ἀντιστοίχων μέσων ὡριαίων τιμῶν $\bar{\tau}_F$, $\bar{\tau}_P$ καὶ $\bar{\tau}$ τῆς θερμοκρασίας τοῦ ἀέρος. Ἐκ τοῦ σχήματος τούτου προκύπτει ἐπὶ πλέον ὅτι εἰς τὰς περισσοτέρας τῶν περιπτώσεων οἱ κλάδοι τῶν βρόχων $(\bar{\tau}_F, \bar{\tau}_P)$, $(\bar{\tau}_P, \bar{\tau}_P)$ καὶ $(\bar{\tau}, \bar{\tau})$ ποὺ ἀντιστοιχοῦν εἰς τὰς μεταμεσημβρινὰς ὡρας κείνται κάτωθεν τῶν κλάδων ποὺ ἀντιστοιχοῦν εἰς

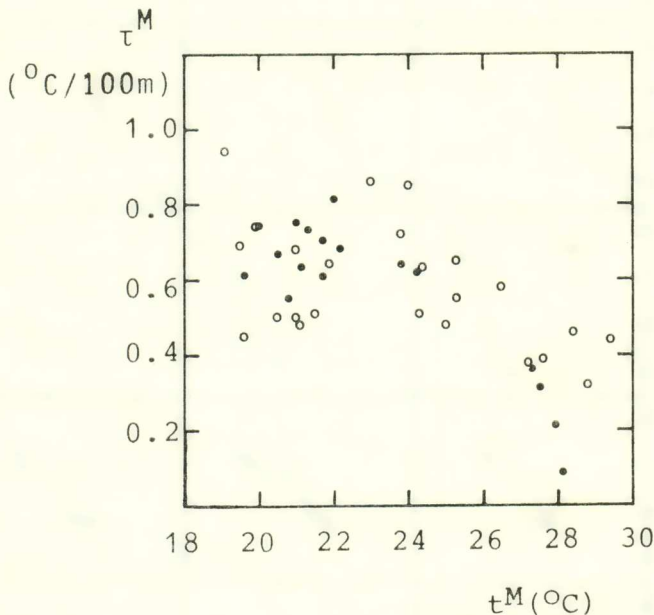


Σχ. 10. Σχέσις μεταξύ των μέσων ώριμων τιμών $\bar{\tau}_F$, $\bar{\tau}_P$ και $\bar{\tau}$ τής κατακορύφου θερμοβαθμίδος δι' έκαστην των περιόδων Α - Ε πεχωρι- σμένως και των άντιστοίχων μέσων ώριμων τιμών $\bar{\tau}_F$, $\bar{\tau}_P$ και $\bar{\tau}$ τής θερμοκρασίας του άέρος.

τὰς προμεσημβρινὰς ὡραῖς. Τὸ φαινόμενον τοῦτο μᾶς ἐπιτρέπει νὰ ἔρμηνεύσωμεν τὸ ἀντίστοιχον φαινόμενον ποὺ εἶχε διαπιστωθῆ ἀνωτέρῳ διὰ τὴν περίπτωσιν τοῦ συντελεστοῦ γεωδαιτικῆς διαθλάσεως.

6. 2. Ἐμελετήθησαν αἱ μεταβολαὶ τῆς ἡμερησίας πορείας τῆς κατακορύφου θερμοβαθμίδος κατὰ τὴν διάρκειαν τοῦ ἔτους καὶ ἀπὸ ἔτους εἰς ἔτος. Οὕτως:

α) Ἐμελετήθη ἡ μεταβολὴ τῆς μέσης ἡμερησίας τιμῆς τῆς κατακορύφου θερμοβαθμίδος ἀπὸ ἡμέρας εἰς ἡμέραν. Τὸ σχ. 6 δίδει τὰς μέσας ἡμερησίας



Σχ. 11. Σχέσις μεταξὺ τῶν μέσων ἡμερησίων τιμῶν t^M τῆς κατακορύφου θερμοβαθμίδος δι' ἕκαστην ἡμέραν παρατηρήσεως τῶν δύο περιόδων D (·) καὶ E (o) διοῦ καὶ τῶν ἀντιστοίχων μέσων τιμῶν t^M τῆς θερμοκρασίας τοῦ ἀέρος.

τιμὰς t_{F}^M , t_{P}^M καὶ t^M τῆς κατακορύφου θερμοβαθμίδος διοῦ μὲ τὰς ἀντιστοίχους μέσας ἡμερησίας τιμὰς τῆς θερμοκρασίας τοῦ ἀέρος, διὰ τὰς περιόδους D καὶ E διὰ τὰς διοῖς διαθέτομεν τιμὰς τοῦ τ καθ' ὅλην τὴν διάρκειαν τοῦ 24ώρου. Ἐκ τοῦ σχήματος τούτου δὲν προκύπτει σαφῆς συσχέτισις μεταξὺ τῶν μέσων ἡμερησίων τιμῶν τῆς κατακορύφου θερμοβαθμίδος ἀπὸ ἡμέρας εἰς ἡμέραν καὶ τῆς ἀντιστοίχου μεταβολῆς τῆς θερμοκρασίας τοῦ ἀέρος.

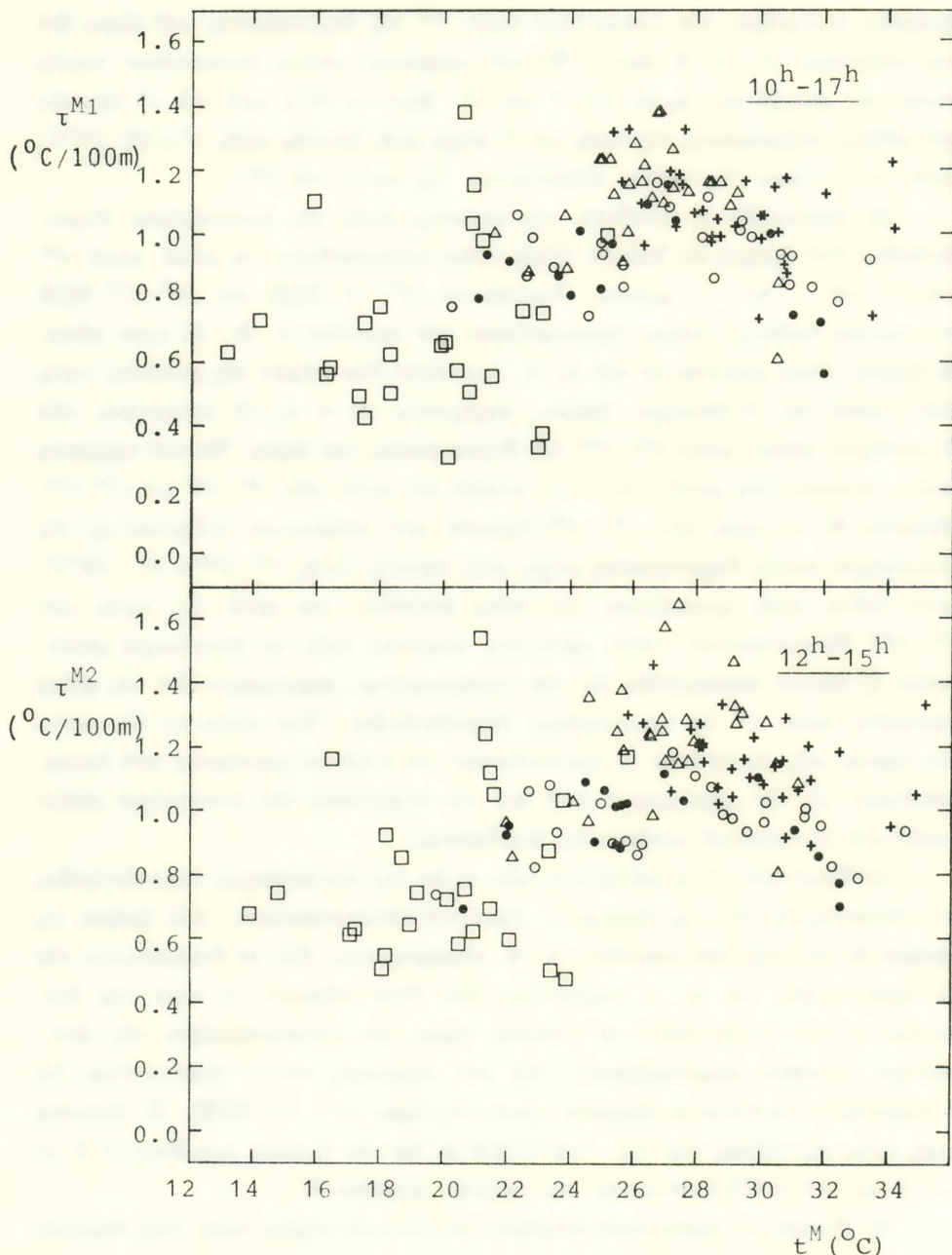
Διὰ νὰ μελετηθῇ λεπτομερέστερον τὸ φαινόμενον κατεσκευάσθη τὸ σχ. 11 εἰς τὸ διόπτον παρέχονται αἱ μέσαι ἡμερήσιαι τιμαὶ t^M τῆς κατακορύφου θερμο-

βαθμίδος συναρτήσει τῶν ἀντιστοίχων τιμῶν t^M τῆς θερμοκρασίας τοῦ ἀέρος διὰ τὰς περιόδους D καὶ E διοῦ. Ἐκ τοῦ σχήματος τούτου διαπιστοῦται σαφὴς συσχέτισις μεταξὺ τῶν τιμῶν τοῦ t^M καὶ t^M . Μάλιστα δὲ ἡ τιμὴ τοῦ t^M ἀρχικῶς μὲν αὐξάνει αὐξανομένης τῆς τιμῆς τοῦ t^M μέχρι μιᾶς δριακῆς τιμῆς $t^M = 22 - 24^\circ C$, μετὰ ταῦτα ὅμως ἐλαττοῦται αὐξανομένης τῆς τιμῆς τοῦ t^M .

β) Ἐμελετήθη ἡ μεταβολὴ τῆς μεγίστης τιμῆς τῆς κατακορύφου θερμοβαθμίδος ἀπὸ ἡμέρας εἰς ἡμέραν. Πρὸς τοῦτο ὑπελογίσθησαν αἱ μέσαι τιμαὶ t^{M1} καὶ t^{M2} τοῦ τ , διὰ τὰ χρονικὰ διαστήματα $12^h - 15^h$ ΕΩΕ καὶ $10^h - 17^h$ ΕΩΕ ἀντιστοίχως ἐκάστης ἡμέρας παρατηρήσεων τῶν περιόδων A - E. Αἱ τιμαὶ αὗται, αἱ ὁποῖαι, ὅπως φαίνεται ἐκ τοῦ σχ. 4, ἀποτελοῦν ἔνα μέτρον τῆς μεγίστης τιμῆς τοῦ τ κατὰ τὴν ἀντίστοιχον ἡμέραν, παρέχονται εἰς τὸ σχ. 12 συναρτήσει τῶν ἀντιστοίχων μέσων τιμῶν t^{M1} , t^{M2} τῆς θερμοκρασίας τοῦ ἀέρος. Ἐκ τοῦ σχήματος τούτου διαπιστοῦται σαφὴς συσχέτισις μεταξὺ τῶν τιμῶν τῶν t^{M1} , t^{M1} καὶ t^{M2} , t^{M2} . Μάλιστα δὲ αἱ τιμαὶ τῶν t^{M1} , t^{M2} ἀρχικῶς μὲν αὐξάνονται αὐξανομένης τῆς ἀντίστοιχου μέσης θερμοκρασίας μέχρι μιᾶς δριακῆς τιμῆς t^{M1} , $t^{M2} = 27 - 28^\circ C$, μετὰ ταῦτα ὅμως ἐμφανίζεται μία τάσις μειώσεώς των μετὰ τῆς τιμῆς τῶν t^{M1} , t^{M2} . Τὸ φαινόμενον τοῦτο σχετίζεται ἀσφαλῶς πρὸς τὸ ἀντίστοιχον φαινόμενον τὸ ὄποιον ἐπεσημάνθη εἰς τὴν προηγουμένην παράγραφον διὰ τὰς μέσας ἡμερησίας τιμὰς t^M τῆς κατακορύφου θερμοβαθμίδος. Ἐπὶ πλέον τὰ δύο ταῦτα φαινόμενα μᾶς ἐπιτρέπουν νὰ ἐριηνεύσωμεν τὰ ἀνάλογα φαινόμενα ποὺ ἐπεσημάνθησαν εἰς τὴν παράγραφον 4.2 διὰ τὴν περίπτωσιν τῶν ἀντιστοίχων μέσων τιμῶν τοῦ συντελεστοῦ γεωδαιτικῆς διαθλάσεως.

γ) Ἐμελετήθη ἡ μεταβλητότης τῶν τιμῶν τῆς κατακορύφου θερμοβαθμίδος ποὺ ἀντιστοιχοῦν εἰς τὰς διαφόρους ὥρας τοῦ εἰκοσιτετραώρου, ἀπὸ ἡμέρας εἰς ἡμέραν δι' ἐκάστην τῶν περιόδων A - E κεχωριομένως. Εἰς τὰ διαγράμματα τῆς δευτέρας σειρᾶς τοῦ σχ. 4 παρέχονται ὑπὸ ἴδιαν κλίμακα αἱ τιμαὶ τῆς διασπορᾶς σ τῶν τιμῶν τοῦ τ δι' ἐκάστην ὥραν τοῦ εἰκοσιτετραώρου τῆς ἀντιστοίχου περιόδου παρατηρήσεων. Ἐκ τοῦ σχήματος τούτου διαπιστοῦται ὅτι ἡ διασπορὰ σ καθίσταται ἐλαχίστη κατὰ τὰς ὥρας $10^h - 17^h$ ΕΩΕ. Ἡ ἐλαχίστη τιμὴ εἶναι τῆς τάξεως τῶν $0.2 - 0.3^\circ C / 100 m$ διὰ τὰς θερινὰς περιόδους A, C, D καὶ E καὶ τοῦ $0.3^\circ C / 100 m$ διὰ τὴν ἐαρινὴν περίοδον B.

δ) Ἐπειδὴ αἱ γεωδαιτικαὶ μετρήσεις διεξάγονται κυρίως κατὰ τοὺς θερινοὺς μῆνας, εἶναι χρήσιμον νὰ ἔχωμεν πληροφορίας διὰ τὴν μέσην ἡμερησίαν πορείαν τῆς κατακορύφου θερμοβαθμίδος κατὰ τὴν περίοδον ταύτην. Εἰς τὸ σχ. 9 παρέχεται ἡ μέση ἡμερησία πορεία τῶν τιμῶν τῆς κατακορύφου θερμοβαθμίδος t_F , t_p



Σχ. 12. Σχέσις μεταξύ τῶν μέσων τιμῶν τ^{M1} καὶ τ^{M2} τῆς κατακορύφου θερμοβαθμίδος διὰ τὰ χρονικά διαστήματα $12^{\text{h}} - 15^{\text{h}}$ ΕΩΕ καὶ $10^{\text{h}} - 17^{\text{h}}$ ΕΩΕ ἀντιστοίχως ἐκάστης ημέρας παρατηρήσεων τῶν πέντε περιόδων Α (Δ), Β (\square), Κ (+), Δ (·) καὶ Ε (\circ) ὁμοῦ καὶ τῶν ἀντιστοίχων μέσων τιμῶν τ^{M1} καὶ τ^{M2} τῆς θερμοκρασίας τοῦ ἀέρος.

καὶ τ ποὺ ἀντιστοιχεῖ εἰς τὰς τέσσαρας θερινὰς περιόδους A, C, D καὶ E δμοῦ. Εἰς τὸ αὐτὸ σχῆμα δίδεται ὑπὸ ἴδιαν κλίμακα καὶ ἡ διασπορὰ σ τῶν τιμῶν τῶν τ_F , τ_P καὶ τ δι' ἐκάστην ὥραν τοῦ εἰκοσιτετράρου διὰ τὰς τέσσαρας ταύτας περιόδους παρατηρήσεων. ³Ἐκ τοῦ σχήματος τούτου διαπιστοῦται ὅτι ἡ διασπορὰ σ καθίσταται ἐλαχίστη κατὰ τὰς ὥρας $10^{\text{h}} - 17^{\text{h}}$ ΕΩΕ. Ἡ ἐλαχίστη αὐτὴ τιμὴ εἶναι τῆς τάξεως τοῦ $0.3 - 0.4^{\circ}\text{C}/100\text{ m}$ διὰ τὰ τ_F καὶ τ_P καὶ τοῦ $0.2 - 0.3^{\circ}\text{C}/100\text{ m}$ διὰ τὸ τ.

7. ΘΕΩΡΗΤΙΚΑΙ ΤΙΜΑΙ ΤΟΥ ΣΥΝΤΕΛΕΣΤΟΥ ΓΕΩΔΑΙΤΙΚΗΣ ΔΙΑΘΛΑΣΕΩΣ

³Ἐκ τῆς σχέσεως (2. 4) προκύπτει ὅτι διὰ νὰ ὑπολογίσωμεν θεωρητικῶς τὴν τιμὴν τοῦ τοπικοῦ συντελεστοῦ γεωδαιτικῆς διαθλάσεως εἰς ἓνα τόπον P, ἀρκεῖ νὰ γνωρίζωμεν τὰς τιμὰς τῆς θερμοκρασίας τοῦ ἀέρος t καὶ τῆς ἀτμοσφαιρικῆς πιέσεως p, καθὼς καὶ τὴν τιμὴν τῆς κατακορύφου θερμοβαθμίδος τ εἰς τὸν τόπον αὐτόν. Καὶ αἱ μὲν τιμαὶ τοῦ t καὶ p δύνανται νὰ μετρηθοῦν ἀπ' εὐθείας. ³Αντιθέτως, ὁ προσδιορισμὸς τῆς κατακορύφου θερμοβαθμίδος παρουσιάζει μεγάλας δυσχερείας. Κατ' ἀνάλογον τρόπον, ὅταν ἔχωμεν δύο τόπους P_1 καὶ P_2 δυνάμεθα νὰ ὑπολογίσωμεν θεωρητικῶς τὴν τιμὴν τοῦ μέσου συντελεστοῦ γεωδαιτικῆς διαθλάσεως $K = \frac{1}{2} (K_1 + K_2)$ μεταξὺ τῶν τόπων αὐτῶν, ἐφ' ὅσον γνωρίζομεν τὰς τιμὰς t_1 , p_1 καὶ t_2 , p_2 τῆς θερμοκρασίας τοῦ ἀέρος καὶ τῆς ἀτμοσφαιρικῆς πιέσεως εἰς τοὺς δύο τόπους, καὶ τὴν τιμὴν τῆς κατακορύφου θερμοβαθμίδος τ μεταξὺ τῶν τόπων αὐτῶν. Συνεπῶς, καὶ εἰς τὴν περίπτωσιν αὐτὴν εἶναι ἀπαραίτητος ἡ εὔρεσις τῆς τιμῆς τῆς κατακορύφου θερμοβαθμίδος. Μία κατὰ χονδροειδῆ προσέγγισιν λύσις θὰ ἴτο νὰ ὑπολογίσωμεν τὴν τιμὴν τῆς κατακορύφου θερμοβαθμίδος ἐκ τῶν τιμῶν τῶν θερμοκρασιῶν τοῦ ἀέρος t_1 καὶ t_2 τῶν μετρηθεισῶν εἰς τοὺς τόπους P_1 καὶ P_2 καὶ τῆς ὑψομετρικῆς διαφορᾶς τῶν τόπων αὐτῶν Δh_{12} , τῇ βοηθείᾳ δηλαδή, τῆς σχέσεως

$$\tau = - \frac{\Delta t_{12}}{\Delta h_{12}}. \quad (7.1)$$

Εὐκόλως φαίνεται ὅμως ὅτι ἡ λύσις αὐτὴ δύναται νὰ μᾶς ὀδηγήσῃ εἰς πολὺ ἐσφαλμένας τιμὰς διὰ τὸ τ, λόγῳ τοῦ ὅτι αἱ τοπικαὶ συνθῆκαι εἰς τοὺς δύο σταθμοὺς δύνανται νὰ ἐπηρεάσουν σημαντικῶς τὰς τιμὰς τῆς θερμοκρασίας ποὺ εὑρίσκονται τῇ βοηθείᾳ τῶν μετεωρολογικῶν μετρήσεων ποὺ γίνονται εἰς τοὺς

σταθμούς αύτούς. Διὰ νὰ ἔξετασθῇ λεπτομερέστερον τὸ θέμα ὑπελογίσθησαν αἱ θεωρητικαὶ τιμαὶ K^{c_1} τοῦ μέσου συντελεστοῦ γεωδαιτικῆς διαθλάσεως $K = \frac{1}{2}(K_F + K_P)$, ὅπου αἱ τιμαὶ τοῦ K_F καὶ K_P ὑπελογίσθησαν τῇ βοηθείᾳ τῆς σχέσεως (2.4) ἐκ τῶν τιμῶν t_F , p_F καὶ t_P , p_P αἱ δποῖαι ἐμετρήθησαν εἰς τοὺς δύο σταθμούς Φανέρ Τούμπα καὶ Πανόραμα καὶ τῆς τιμῆς τῆς θερμοβαθμίδος της παρεχομένης ὑπὸ τῆς σχέσεως (7.1). Αἱ τιμαὶ αὗται συνεκρίθησαν πρὸς τὰς ἀντιστοίχους παρατηρηθείσας τιμὰς K^{obs} τοῦ K καὶ ὑπελογίσθησαν οὕτως αἱ τιμαὶ τῆς διασπορᾶς

$$\sigma = \sqrt{\frac{\sum_{i=1}^{i=N} (K^{\text{obs}} - K^{c_1})^2}{N}} \quad (7.2)$$

καὶ τῆς ἀντιστοίχου ἀκριβείας

$$\varepsilon = 100 \left(1 - \frac{\sigma}{\bar{K}^{\text{obs}}} \right) \% . \quad (7.3)$$

Ο πίναξ 2 παρέχει τὰς οὕτω προκυψάσας τιμὰς τῆς ἀκριβείας δι' ἐκάστην ὕδαν παρατηρήσεως ἐκάστης περιόδου παρατηρήσεων. Ἐκ τοῦ πίνακος τούτου διαπιστοῦται ὅτι ἡ ἀκριβεία τὴν δποίαν ἐπιτυγχάνομεν, ὅταν ὑπολογίζωμεν θεωρητικῶς τὴν τιμὴν τοῦ K χρησιμοποιοῦντες τὰς τιμὰς τῆς κατακορύφου θερμοβαθμίδος τῆς παρεχομένης ὑπὸ τῆς σχέσεως (7.1) εἶναι ἔξαιρετικῶς χαμηλή.

Ἐν συνεχείᾳ προέβημεν εἰς ἔνα δεύτερον ὑπολογισμὸν τῆς θεωρητικῆς τιμῆς K^{c_2} τοῦ μέσου συντελεστοῦ γεωδαιτικῆς διαθλάσεως $K = \frac{1}{2}(K_F + K_P)$, κατὰ τὸν δποῖον αἱ τιμαὶ τῶν K_F καὶ K_P εὑρέθησαν ἐκ τῆς σχέσεως (2.4) καὶ τῶν τιμῶν t_F , p_F καὶ t_P , p_P , αἱ δποῖαι ἐμετρήθησαν εἰς τοὺς σταθμούς Φανέρ Τούμπα καὶ Πανόραμα. Διὰ τὴν κατακόρυφον θερμοβαθμίδα t_F καὶ t_P ὅμως ἔχρησιμοποιήθησαν εἰς τὴν περίπτωσιν ταύτην αἱ τιμαὶ αἱ παρεχόμεναι ὑπὸ τοῦ σχήματος 12. Αἱ θεωρητικαὶ αὗται τιμαὶ K^{c_2} συνεκρίθησαν καὶ πάλιν πρὸς τὰς ἀντιστοίχους παρατηρηθείσας τιμὰς K^{obs} καὶ ὑπελογίσθησαν αἱ τιμαὶ τῆς διασπορᾶς σ καὶ τῆς ἀκριβείας ε , αἱ δποῖαι παρέχονται ὑπὸ τοῦ πίνακος 2. Ἐκ τοῦ πίνακος τούτου διαπιστοῦται ὅτι ἡ ἀκριβεία ἡ δποία ἐπιτυγχάνεται εἰς τὴν περίπτωσιν ταύτην εἶναι τῆς τάξεως τοῦ 80 - 90 %, δηλαδὴ ἴκανοποιητικὴ καὶ ἐν πάσῃ περιπτώσει ἀσυγκρίτως μεγαλυτέρα ἀπὸ ἐκείνην τὴν δποίαν ἔχομεν, ὅταν ὑπολογίζωμεν τὴν κατακόρυφον θερμοβαθμίδα τῇ βοηθείᾳ τῆς σχέσεως (7.1).

ΠΙΝΑΞ 2.

Τιμαὶ τῆς ἀκριβείας ε (%) τῆς ποσότητος $K^{\text{obs}} - K^C$ διὰ $\tau = -\Delta t_{FP}/\Delta h_{FP}$
καὶ $\tau = \mu\epsilon\sigma\alpha\tau\bar{\tau}$ ἐκ τοῦ σχ. 12.

Ωρα	$\tau = -\Delta t_{FP}/\Delta h_{FP}$					$\tau = \bar{\tau}$				
	A	B	C	D	E	A	B	C	D	E
01				82	67				89	90
02				77	68				89	90
03				76	69				89	89
04				75	71				84	89
05				78	75				88	88
06				77	74				90	88
07	77			77	76	86			88	89
08	64	59	62	48	66	87	84	76	82	88
09	57	62	51	51	66	87	83	79	91	92
10	44	59	30	44	59	89	80	84	89	89
11	31	48	6	25	49	87	79	87	91	90
12	37	36	-3	30	48	87	80	91	93	92
13	20	36	-1	26	51	87	84	92	92	90
14	28	34	-3	28	43	87	87	90	90	92
15	26	35	-7	25	34	88	83	92	91	93
16	35	37	-4	34	29	87	85	92	90	92
17	24	46	19	40	32	86	83	91	89	93
18	58			61	48	91			91	89
19				73	75				89	89
20				78	82				91	90
21				79	79				90	90
22				77	71				91	89
23				78	68				88	90
24				82	63				87	92

S U M M A R Y

The value of the coefficient of terrestrial refraction K has been determined with the help of zenith distance measurements carried out between two observing stations situated at a distance of 15122.55 m and absolute heights equal to about 177 m and 361 m in the area of Thessaloniki. A total of 1924 hourly values of K covering 128 days during the years 1969 - 74 have been thus obtained. On the basis of this material the variation of the value of K during each day and from day to day, as compared with the corresponding variation of air temperature has been studied.

In the second part of the paper a method for the determination of the vertical temperature gradient τ with the help of the coefficient of terrestrial refraction is described. With the help of this method 1924 values of τ for the area under consideration have been determined. On the basis of this material the variation of the value of τ during each day and from day to day as compared with the corresponding variation of air temperature has been studied.

ΒΙΒΛΙΟΓΡΑΦΙΑ

- Π. Αγιακάτσικα - Β. Απλάδα - Χ. Κοτζαμάνη και Α. Χριστοδούλον, Προσδιορισμός του συντελεστού γεωδαιτικής διαθλάσεως K είς τὴν περιοχὴν τῆς Θεσσαλονίκης. Διπλωματικὴ ἐργασία, Πανεπιστήμιον Θεσσαλονίκης, Θεσσαλονίκη, σελ. 208, 1971
- Ο. Αγιάλεω - Α. Αργυροῦ - Ν. Καλλονᾶ - Ν. Κατσαρέλη - Ν. Μαντζαβίνον - Β. Μισαηλίδη - Ι. Νικολάου και Π. Τσουρέλη, Προσδιορισμός του συντελεστού γεωδαιτικῆς διαθλάσεως είς τὴν περιοχὴν τῆς Θεσσαλονίκης, Διπλωματικὴ ἐργασία, Πανεπιστήμιον Θεσσαλονίκης, Θεσσαλονίκη, σελ. 313, 1974.
- Ι. Ασπρίδη - Δ. Βάπελα - Γ. Βλαχάκη - Γ. Βουγιατζῆ - Β. Μπουντούρη - Ν. Τζαφέτα - Κ. Τσανακτσίδη - Ι. Φαμέλον, Προσδιορισμός του συντελεστού γεωδαιτικῆς διαθλάσεως K είς τὴν περιοχὴν Θεσσαλονίκης, Διπλωματικὴ ἐργασία, Πανεπιστήμιον Θεσσαλονίκης, Θεσσαλονίκη, σελ. 116, 1972.
- A. Badellias - L. N. Mavridis - P. Savaidis and A. Tsioumis, Meteorologika, Publications of the Meteorological Institute of the University of Thessaloniki No. 69, 189, 1980.

- H. Λιναρη - B. Παντελίδη - X. Παπαβασιλείου και Θ. Παπαδόπούλου, Προσδιορισμός τοῦ συντελεστοῦ γεωδαιτικῆς διαθλάσεως Κ εἰς τὴν περιοχὴν Θεσσαλονίκης. Διπλωματικὴ ἐργασία, Πανεπιστήμιον Θεσσαλονίκης, Θεσσαλονίκη, σελ. 118, 1971.
- L. N. Mavridis and A. L. Papadimitriou, Paper presented to the XVth General Assembly of the IUGG/IAG, Moscow, 1971.
- L. N. Mavridis and A. L. Papadimitriou, J. of Geophysical Research **78**, 2679, 1973. Publications of the Department of Geodetic Astronomy, University of Thessaloniki, No. 1, 1973.
- I. Μποζινέκη - A. Ταζέ - N. Νικηφόριδη και Δ. Τσιαπραλή, Προσδιορισμός τοῦ συντελεστοῦ γεωδαιτικῆς διαθλάσεως Κ εἰς τὴν περιοχὴν τῆς Θεσσαλονίκης. Διπλωματικὴ ἐργασία, Πανεπιστήμιον Θεσσαλονίκης, Θεσσαλονίκη, σελ. 185, 1971.
- Γ. Παναγιωτίδου - A. Σοφιανάτου - M. Τερζιάν και A. Χουλιάρα, Προσδιορισμός τοῦ συντελεστοῦ γεωδαιτικῆς διαθλάσεως Κ. Διπλωματικὴ ἐργασία, Πανεπιστήμιον Θεσσαλονίκης, Θεσσαλονίκη, σελ. 293, 1969.
- A. Παπαδημητρίου, Μελέτη τῆς γεωδαιτικῆς διαθλάσεως εἰς τὴν περιοχὴν τῆς Θεσσαλονίκης. Διατριβὴ ἐπὶ διδακτορίᾳ, Πανεπιστήμιον Θεσσαλονίκης, Θεσσαλονίκη, σελ. VI + 145, 1970.
- Π. Σαββαΐδη, Ἰδιωτικὴ πληροφορία, 1981.